

UNIVERSIDADE FEDERAL DE PELOTAS

Programa de Pós-Graduação em Biotecnologia



TESE

**Efeito do butafosfan no metabolismo de
vacas leiteiras saudáveis ou com mastite
clínica**

Vinicius Coitinho Tabeleão

Pelotas, 2014.

Vinicius Coitinho Tabeleão

**Efeito do butafosfan no metabolismo de vacas leiteiras saudáveis ou com
mastite clínica**

Tese apresentada ao Programa de Pós-Graduação em Biotecnologia da Universidade Federal de Pelotas, como requisito parcial à obtenção do título de Doutor em Ciências.

Orientador: Marcio Nunes Corrêa

Pelotas, 2014.

Dados de catalogação na fonte:

Ubirajara Buddin Cruz – CRB-10/901

Biblioteca de Ciência & Tecnologia - UFPel

T113e Tabeleão, Vinicius Coitinho

Efeito do butafosfan no metabolismo de vacas leiteiras saudáveis ou com mastite clínica / Vinicius Coitinho Tabeleão. – 82f. – Tese (Doutorado). Programa de Pós-Graduação em Biotecnologia. Universidade Federal de Pelotas. Centro de Desenvolvimento Tecnológico. Pelotas, 2014. – Orientador Marcio Nunes Corrêa ; coorientador Rubens Alves Pereira... [et al.]

Banca examinadora

Marcio Nunes Corrêa, Dr., Universidade Federal de Pelotas (orientador)

Eduardo Schmitt, Dr., Embrapa – Centro de Pesquisa Agroflorestal

Fernanda Medeiros Gonçalves, Dr^a., Universidade Federal de Pelotas

Raquel Fraga e Silva Raimondo, Dr^a., Universidade Federal de Pelotas

Rubens Alves Pereira, Dr., Universidade Federal de Pelotas (suplente)

Agradecimentos

Agradeço a DEUS pela vida.

A CAPES por ter concedido uma bolsa de doutorado podendo assim contribuir para a viabilização desta tese.

Ao professor Dr. Marcio Nunes Corrêa, orientador e parceiro de tantas jornadas, pela dedicação e por ter confiado que era possível desenvolver um trabalho, mesmo com tantos desafios que se avizinhavam. Sua confiança e orientação foram fundamentais. Juntamente, com o professor Francisco Augusto Burkert Del Pino e Eduardo Schmitt, sempre estimuladores e encorajadores na condução dos desafios diários do trabalho, além de ter compartilhado de seus conselhos com suas experiências de vida.

À Granja 4 Irmãos, por ter sido uma parceira fundamental colocando as equipes, estrutura, registros e os animais a nossa inteira disposição, permitindo assim que pudéssemos conduzir as atividades, em especial ao colega Médico Veterinário Eduardo Xavier, que nesse momento representa toda as pessoas que me auxiliaram. Meu muito obrigado de coração.

Aos colegas de trabalho do NUPEEC, pelas trocas de experiência que foram de grande valia para o aprendizado da minha vida profissional e pessoal, que sempre foram afáveis, compreensivos e parceiros, dividindo estudos expectativas e perspectivas pessoais e profissionais. Além de um auxílio fundamental na condução dos trabalhos de campo. Grato por mais esse aprendizado.

Às pessoas que trabalharam mais próximas a mim, dividindo atividades e se sacrificando pela condução perfeita do que planejamos. Vocês foram partes integrantes de mim, me auxiliaram a ser um profissional mais capacitado pela sua convivência, estilo de vida, compreensão de tudo e todos. Vocês foram meus braços quando não tinha mais força, e minhas pernas quando não mais chegava, sem vocês este trabalho não teria sido o que foi. Muito obrigado à Rubens Alves Pereira, Rafael da Fonsceca Prietsch, Josiane de Oliveira Feijó, Patricia Mattei, Tais Helena Kivel e Thais Casarin da Silva.

A Professora Leonor Almeida de Souza-Soares, por sempre ser uma pessoa presente e atuante, sendo a voz da consciência e sabedoria para conduzir os percalços da vida. Aos professores da UFPel que em diferentes momentos foram meus conselheiros e muito me auxiliaram nessa caminhada.

A meus irmãos de emaús, que mesmo a distância mantém-se ligados a minha pela oração, obrigado por que elas são eficazes, e eu sou testemunha disso.

A meus pais Dilermando Lopes Tabeleão, Vera Lucia Coitinho Tabeleão e meu irmão Leandro Coitinho Tabeleão e minha cunhada Pricila Pilotto Tabeleão e ao mais novo integrante da nossa Cassio Pilotto Tabeleão, sem vocês nunca teria conseguido chegar até aqui. Vocês foram e sempre serão meus melhores amigos, conselheiros, parceiros, fonte de inspiração e fortaleza. Agradeço a DEUS por ELE ter concedido essa graça de ser parte dessa FAMILIA. Do mesmo modo aos meus tios Fernando Pizzaro Pilotto e Ana Maria Tabeleão Pilotto e seus filhos, que contribuíram e contribuem fortemente na vida. O mesmo agradecimento a Rejane Lazari, Eloir Lazari e Gabriella Lazari, que mesmo a distância sempre torceram e me auxiliaram.

A Lara Lazari e Ana Luiza Lazari Tabeleão, razões de minha existência, motivos de não desistência dessa caminha. Vocês sempre me fizeram sorrir, mesmo quando não exteriorizava. Vocês são responsáveis diretas por minha vontade de sair para trabalhar e pela ansiedade de retornar, sempre me esperando com um sorriso, um abraço e um beijo acolhedor e amoroso. Vocês me fizeram e fazem muito feliz, também foi de responsabilidade de vocês me dar força para suportar e superar os desafios dos últimos tempo que não foram poucos. Tenho certeza que seremos felizes muitas e muitas décadas...

Outro agradecimento especial para Nereida Larré Coitinho, minha avó e madrinha, que no silêncio de seus comentários me fizeram aprender muito. Obrigado pelo seu testemunho de carinho, amor e abnegação pessoal...

A todos dizer obrigado poderia ser pouco, mas quando se tem muito claro da veracidade deste agradecimento creio que não é. MUITO OBRIGADO.

Resumo

TABELEÃO, Vinicius Coitinho. **Efeito do butafosfan no metabolismo de vacas leiteiras saudáveis ou com mastite clínica.** 2014. 80f. Tese (doutorado) – Programa de Pós-graduação em Biotecnologia. Universidade Federal de Pelotas, Pelotas.

As vacas leiteiras são desafiadas a desempenhar o máximo da sua capacidade produtiva, principalmente, durante o período de transição (três semanas anteriores e três semanas posteriores ao parto). Este período é caracterizado por intensas mudanças no metabolismo que causam um balanço energético negativo. Este fato gera uma perda de peso característica do período, que tem sido correlacionada com a resistência periférica à insulina, haja vista, que a glicose disponível está sendo destinada para síntese de lactose, que por sua vez é responsável, parcialmente, pelo volume de leite produzido. Além disso, durante a lactação há vários manejos que podem oferecer risco à saúde dos animais, caso não sejam executados adequadamente, causando traumas e predispondo o animal a infecções, especialmente, da glândula mamária, já que ela é intensamente manipulada e tem contato com vários agentes potencialmente infecciosos. A partir de uma porta de entrada estes agentes podem infectar a glândula causando a mastite, que pode se apresentar na forma clínica (com presença de sinais clínicos), ou subclínica (sem sinais clínicos). Nas situações de desequilíbrio metabólico, ou em casos de mastite, a produção de leite pode ser prejudicada. Diante disso, há uma busca constante por tecnologias que possam minimizar estes transtornos e auxiliar os sistema de produção. Nossa objetivo foi verificar o efeito da associação de butafosfan e cianocobalamina sobre o metabolismo glicêmico de vacas leiteiras saudáveis no período pós-parto, além dos seus efeitos sobre a recuperação da glândula mamária em vacas leiteiras após o tratamento de mastite clínica. Para tanto, nosso estudo foi estratificado em dois trabalhos com as seguintes hipóteses: 1) a utilização da associação de butafosfan e cianocobalamina pode intensificar a resistência à insulina periférica, disponibilizando maior quantidade de glicose para a produção de leite em vacas leiteiras; 2) a suplementação da associação de butafosfan e cianocobalamina pode auxiliar na recuperação da glândula mamária de vacas leiteiras, após o tratamento da mastite clínica. No experimento 1, os animais que receberam sucessivas doses de butafosfan e cianocobalamina tiveram maior perda de peso e aumento ($P<0,05$) das atividades das enzimas aspartato amino transferase e creatinoquinase. Além disso, ao final do tratamento houve aumento ($P<0,05$) dos níveis glicêmicos nos animais tratados, quando comparados ao inicio. No experimento 2, as análises comparativas entre as mastites, leve e moderada, não diferiram em nenhum dos parâmetros ($P>0,05$). Os animais tratados com butafosfan e cianocobalamina apresentaram menor ($P<0,05$) contagem de células somáticas após a terceira aplicação. Entretanto, os níveis de glicose, albumina, PPT, AGNES e os componentes químicos e físicos do leite não diferiram ($P>0,05$) entre os grupos. Nessas condições de estudo, podemos concluir que a associação de butafosfan e cianocobalamina apresenta resultados promissores como fonte de nutriente que permite intensificar as reações fisiológicas, principalmente, as dependentes de fosforilação.

Palavras-chave: fósforo orgânico, vitamina B12, vacas de leite, período de transição.

Abstract

TABELEÃO, Vinicius Coitinho. **Effects the butaphosphan on the metabolism of healthy dairy cows with clinical mastitis.** 2014. 80F. Thesis (Ph.D.) - Programa de Pós-graduação em Biotecnologia. Universidade Federal de Pelotas, Pelotas.

Dairy cows are expected to perform maximum of their productive capacity, especially during the transition period (three weeks before and up to three weeks after calving). This period is characterized by intense changes in metabolism which cause a negative energy balance. This fact generates a period of typical weight loss, which has been correlated with insulin resistance, once the available glucose is destined for lactose synthesis, which in turn is responsible, in part, for milk production levels. Moreover, during lactation there are several managements that impairs animals health. If not executed properly, can cause trauma and predisposition for infections, especially of the mammary gland, because this gland is heavily manipulated and has contact with potentially infectious agents. From a entrance doorway, these agents can infect the gland and cause mastitis, which may be clinical (with clinical signs) or subclinical (without clinical signs). In situations of metabolic disorders or in cases of mastitis, the milk production may be affected. Therefore, there is a constant search for technologies that can minimize these disorders and assist the production systems. Our objective was to investigate the effects of combining butaphosphan and cyanocobalamin on the glycemic metabolism in healthy dairy cows in the postpartum period and their effects on the mammary gland recovery in dairy cows after clinical mastitis treatment. Thus, our study was stratified into two assumptions: 1) the use of the association of butaphosphan and cyanocobalamin enhances peripheral insulin resistance in dairy cows, providing greater amounts of glucose for milk production, 2) the supplementation with butaphosphan and cyanocobalamin facilitates mammary gland recovery in dairy cows affected by mastitis. In experiment 1, animals receiving repeated doses of butaphosphan and cyanocobalamin had greater weight loss and increased ($P<0.05$) of the activities of the enzymes aspartate aminotransferase and creatine kinase. Moreover, at end of treatment had an increase ($P<0.05$) in glucose concentration in treated animals when compared to the beginning of study. In experiment 2, the comparative analyzes between mild and moderate mastitis did not differ ($P>0.05$) in any parameters. The animals treated with butaphosphan and cyanocobalamin had lower ($P<0.05$) somatic cell count after the third application. However, the concentrations of glucose, albumin, TPP, NEFA and the chemical and physical components of milk did not differ ($P>0.05$) among groups. In concusion, the combination of butaphosphan and cyanocobalamin shows promising results as a source of nutrient that allows intensify physiological reactions mainly dependent phosphorylation.

Keywords: organic phosphorus, vitamin B12, milk cows, transition period.

LISTA DE FIGURAS

Artigo 1 Combined effects of butaphosphan and cyanocobalamin on the metabolism of glucose and protein in dairy cows in the postpartum period

- Figure 1:** Mean plasma glucose levels (mg/dL) of milky cows submitted to successive applications of butaphosphan and cyanocobalamine. Mean glucose levels in the control group (CON n=11; NaCl 0.9%; 20 mL/animal) prior to insulin application (a); Mean plasma glucose levels (mg/dL) in the catosal group (ABC n=10; 20 mL Catosal® B12®/animal per application) prior to insulin application (b); Mean plasma glucose levels (mg/dL) in the control group (CON n=11; NaCl 0.9%; 20 mL/animal) after insulin application (c); Mean plasma glucose levels (mg/dL) in the catosal group (ABGC n=10; 20 mL Catosal® B12®/animal per application) after insulin application (d) 44
- Figure 2:** Animal body weight average (kg) on days 8 and 28 postpartum in the control group (CON n=11; NaCl 0.9%; 20 mL/animal) and Catosal group (ABC n=10; 20 mL Catosal® B12®/animal per application). Distinct letters show a P<0.05 difference..... 45

Artigo 2: Butafosfan e cianocobalamina: efeito na recuperação da glândula mamária de vacas leiteiras após o tratamento de mastite clínica.

- Figura 1:** CL = Coleta de Leite. CS = Coleta de Sangue. A) Protocolo de terapia antimicrobiana das vacas diagnosticadas com mastite leve, manejo experimental e suplementação dos grupos Grupo CON e Grupo BFC. B) Protocolo de terapia antimicrobiana das vacas 74
- Figura 2:** Contagem (Células/mL) de CCS (contagem de células somáticas) de vacas suplementadas com placebo (Grupo CON, n=15) ou com 10mg de butafosfan + 5µg de cianocobalamina/kg de PV (Grupo BFC, n=17) 75

LISTA DE TABELAS

Artigo 1 Combined effects of butaphosphan and cyanocobalamin on the metabolism of glucose and protein in dairy cows in the postpartum period

| | |
|--|----|
| Table 1: Diet composition and daily feeding during postpartum period of the dairy cows..... | 38 |
| Table 2: Chemical composition (%) of feed..... | 39 |
| Table 3: Effects of the use of successive doses of a butaphosphan and cyanocobalamin combination on the glucose tolerance test (GTT0-60min), half life rate, metabolism rate and area under the curve (AUC) of dairy cows | 40 |
| Table 4: Effects of the use of successive doses of a butaphosphan and cyanocobalamin combination on average daily weight gain (ADG) (kg), milk production (kg), NEFA (mmol/L), phosphorus (mg/dL), glucose (mg/dL), albumin (g/L), AST (U/L) and CK (U/L) levels..... | 41 |

Artigo 2: Butafosfan e cianocobalamina: efeito na recuperação da glândula mamária de vacas leiteiras após o tratamento de mastite clínica.

| | |
|---|----|
| Tabela 1. Ingredientes e composição nutricional da dieta fornecida às vacas após cada ordenha..... | 69 |
| Tabela 2: Concentração plasmática de glicose (mg/dL), albumina (g/L), PPT (mg/dL) e AGNES (mmol/L) de vacas suplementadas com placebo (Grupo CON, n=15) ou com 10mg de butafosfan+5 μ g de cianocobalamina/kg de PV (Grupo BFC, n=17). | 70 |
| Tabela 3: Média da concentração (%) de lactose, proteína, caseínas totais, ureia, sólidos totais e pH de vacas suplementadas com placebo (Grupo CON, n=15) ou com 10mg de butafosfan + 5 μ g de cianocobalamina/kg de PV (Grupo BFC, n=17) | 71 |
| Tabela 4: Parâmetros físicos do leite de crioscopia (°C) e densidade (g/mL) de vacas suplementadas com placebo (Grupo CON, n=15) ou com 10mg de butafosfan+5 μ g de cianocobalamina/kg de PV (Grupo BFC, n=17). | 73 |

LISTA DE ABREVIATURAS

| | |
|-------|-------------------------------|
| ADG | Daily Weight Gain |
| ADF | Acid Detergent Fibre |
| AGNE | Ácido Graxo Não Esterificado |
| AST | Aspartato Amino Transferase |
| AST | Aspartate Aminotransferase |
| ATP | Adenosina Trifosfato |
| AUC | Area under the curve |
| BW | Body Weight |
| CCS | Contagem de Células Somática |
| CK | Creatino quinase |
| CK | Creatine kinase |
| CL | Coleta de Leite |
| CS | Coleta de Sangue |
| DMI | Dry Matter intake |
| EDTA | Ácido Etilenodiaminotetracido |
| FDA | Fibra Detergente Ácido |
| FDN | Fibra Detergente Neutro |
| GTT | Glucose tolerance tests |
| KF | Fluoreto de potássio |
| NDF | Neutral Detergent Fiber |
| NEB | Negative Energy balance |
| NEFA | Non esterified Fatty acids |
| NF-KB | Fator Nuclear Kappa B |
| NRC | Nutrient Requirements Council |
| PPT | Proteínas Plasmáticas Totais |

PV Peso Vivo
SCC Somatic Cell count
TPP Total Plasma Proteins

Sumário

| | |
|---|----|
| 1. Introdução..... | 15 |
| 2. Objetivos..... | 18 |
| 3. Artigos..... | 19 |
| 3.1. Artigo 1: Combined effects of butaphosphan and cyanocobalamin on the metabolism of glucose and protein in dairy cows in the postpartum period..... | 19 |
| 3.2. Artigo 2: Butafosfan e cianocobalamina: efeito na recuperação da glândula mamária de vacas leiteiras após o tratamento de mastite clínica | 46 |
| 4. Conclusão Geral | 76 |
| 5. Referências..... | 77 |

1. Introdução

A produção de leite é uma atividade altamente complexa, demandando cuidados que envolvem sanidade, nutrição, reprodução, máquinas, equipamentos e ambiente. Este sistema produz um alimento de alto valor biológico, que é composto por água (87 a 88%), proteínas (3,3 a 3,5%), gordura (3,3 a 3,8%), lactose (4,5 a 5%), além de minerais e vitaminas (0,5 a 1%) (Sgarbieri, 2005). Levando em conta esta composição química e uma produção de leite equivalente a 12.400 kg/vaca/ano (Santos *et al.*, 2010), estima-se que são drenados anualmente pela glândula mamária de uma vaca, aproximadamente, 400 kg de proteína e 434 kg de gordura.

Atingir um nível de produção leiteira anual similar a este e, ainda, manter a saúde dos animais, tem sido um grande desafio, principalmente, devido ao intenso metabolismo que é peculiar da fisiologia da vaca leiteira. Esta grande demanda está relacionada à síntese de colostro no pré-parto, passando pela produção de leite, que é crescente nas primeiras semanas (Castaneda-Gutierrez *et al.*, 2009). Durante este período de transição (3 semanas pré-parto a 3 semanas pós-parto), ocorre uma ingestão de energia através da dieta insuficiente para atender à demanda para a produção de leite, caracterizando assim um balanço energético negativo (Heuer *et al.*, 2000).

Esta produção das primeiras semanas demanda grandes quantidades de glicose pela glândula mamária para síntese de lactose (Kronfeld, 1982, Mattmiller *et al.*, 2011), que representa o principal regulador da pressão osmótica determinando, parcialmente, o volume de leite. A fim de atender essas necessidades de glicose, o organismo desenvolve um mecanismo de resistência à insulina nos tecidos periféricos para que a glicose seja direcionada para glândula mamária. Este fato tem uma correlação positiva com a produção de vacas leiteiras (Gutierrez *et al.*, 2006, Chagas *et al.*, 2009, Zhang *et al.*, 2013).

Esta resistência pode ser associada a uma diminuição da secreção de insulina pelo pâncreas (Ning *et al.*, 2011) ou, ainda, pela diminuição da expressão dos receptores de insulina nos tecidos periféricos (Tsuruzoe *et al.*, 2001). A partir disso, essas células aproveitam outros compostos doadores de carbono para manutenção do equilíbrio energético. Destes podem ser

utilizados os ácidos graxos não esterificados (AGNE), obtidos do tecido adiposo (Ning *et al.*, 2011), e aminoácidos advindos das proteínas plasmáticas e musculares (De Koster and Opsomer, 2013), que serão destinados a rotas neoglicogênicas para síntese de ATP (Ruan and Lodish, 2003, Lorenzo *et al.*, 2008, Pires *et al.*, 2013), permitindo atender as demanda energética celular..

Outro ponto crucial na saúde das vacas leiteiras são as doenças causadas por agentes infecciosos como bactérias, fungos e vírus (Oviedo-Boysø *et al.*, 2007). Entre as mais importantes, a mastite tem demonstrado maior relevância por causar prejuízos ao sistema de produção e na indústria de lacticínios (Mehrzed *et al.*, 2004). A mastite pode ocorrer de duas formas: clínica ou subclínica, classificadas de acordo com a avaliação da glândula mamária (Shim *et al.*, 2004). A mastite clínica ainda é classificada conforme o grau de acometimento em leve (somente alterações físicas do leite), moderado (com alterações físicas do leite e sinais de clínicos locais de dor, edema, hiperemia) ou grave (alterações físicas do leite e sinais clínicos sistêmicos) (Parra *et al.*, 2009). Após a confirmação do diagnóstico e a classificação do grau de acometimento, é estabelecida a terapia de eleição, que é diferente em cada situação, optando-se por tratamento tópico e/ou sistêmico de antibiótico e, elementos de suporte para uma melhor resposta aos tratamentos. Para cada terapia tem sido testada varias combinações de princípios ativos, e com isso permitindo a montagem de protocolos de acordo com a capacidade de resolução de cada quadro clínico (Bradley and Green, 2009, Kleen *et al.*, 2009, Schukken *et al.*, 2011).

A contagem de células somáticas (CCS) é considerada como indicador de saúde da glândula mamária (Boutet *et al.*, 2004). Estas células somáticas são compostas por células epiteliais de descamação, linfócitos, macrófagos e neutrófilos, sendo que este último pode representar mais de 90% do total de células (Kehrli and Shuster, 1994, Sharif and Muhammad, 2008, Sharma *et al.*, 2011). No momento que a glândula é agredida são liberados citocinas pró-inflamatórias (prostaglandinas, interleucinas, fator de necrose tumoral, entre outras), que atraem células leucocitárias para o local, a fim de aumentar a capacidade fagocitária (Paape *et al.*, 2003, Boutet *et al.*, 2004, Oviedo-Boysø *et al.*, 2007).

Em animais debilitados a resposta imune celular pode ser insuficiente, seja por ocorrência de outras infecções, ou por alterações metabólicas (Moyes *et al.*, 2009, Parra *et al.*, 2009). Estas alterações cursam com diminuição da capacidade fagocitária (Hammon *et al.*, 2006) ou mitogênica, que por conseguinte disponibiliza um menor número de células com capacidade de resposta inflamatória. Outros estudos têm demonstrado que em altas concentrações de AGNE, os neutrófilos apresentam baixa capacidade fagocitária (Scalia *et al.*, 2006).

Diante desses desafios da produção leiteira, é crescente a demanda por tecnologias que permitam a manutenção da alta produtividade, além de preservar a saúde e a lucratividade do sistema. Dentre elas, a associação de butafosfan, que é uma fonte de fósforo orgânico com a cianocobalamina, que é uma vitamina do complexo B, tem demonstrado efeito sobre a cetose (Rollin *et al.*, 2010), oxidação dos ácidos graxos no fígado (Kreipe *et al.*, 2011), produção leiteira (Pereira *et al.*, 2013b), ingestão de matéria seca e sobre o balanço energético (Furll *et al.*, 2010).

Com base nisso, este estudo foi estratificado em dois experimentos com as seguintes hipóteses: *experimento 1*: a associação de butafosfan e cianocobalamina intensifica a resistência de tecidos periféricos a insulina, disponibilizando maior quantidade de glicose para a produção de leite em vacas leiteiras; *experimento 2*: a associação de butafosfan e cianocobalamina auxilia a recuperação da glândula mamária em vacas leiteiras após o tratamento da mastite clínica.

2. Objetivos

Objetivo geral

Verificar o efeito da associação butafosfan e cianocobalamina em processos metabólicos de vacas leiteiras saudáveis e acometidas por mastite clínica.

Objetivos específicos

- Verificar o efeito da associação de butafosfan e cianocobalamina sobre o metabolismo glicêmico e protéico de vacas leiteiras após o parto;
- Analisar o efeito da associação de butafosfan e cianocobalamina sobre a recuperação da glândula mamária de vacas acometidas por mastite clínica.
- Avaliar o efeito da associação de butafosfan e cianocobalamina sobre o metabolismo energético, proteínas plasmáticas, além das características físico-químicas do leite de vacas acometidas por mastite clínica;

3. Artigos

3.1. Artigo 1: Combined effects of butaphosphan and cyanocobalamin on the metabolism of glucose and protein in dairy cows in the postpartum period

Tabeleão, Vinicius Coitinho; Schwegler, Elizabeth; Weschenfelder, Marina Menocin; Krause, Ana Rita Tavares, Schneider, Augusto; Montagner, Paula; Schmitt, Eduardo; Pereira, Rubens Alves; Brauner, Cassio Cassal; Rabassa, Viviane Rohrig; Del Pino, Francisco Augusto Burkert; Corrêa, Marcio Nunes.

Submetido à revista: Animal Journal

1 **Combined effects of butaphosphan and cyanocobalamin on the**
2 **metabolism of glucose and protein in dairy cows in the postpartum period**

3

4 Tabeleão, Vinicius Coitinho¹; Schwegler, Elizabeth¹; Weschenfelder, Marina
5 Menocin¹; Krause, Ana Rita Tavares¹, Schneider, Augusto^{1,5}; Montagner,
6 Paula¹; Schmitt, Eduardo^{1,2}; Pereira, Rubens Alves¹; Brauner, Cassio Cassal^{1,4};
7 Rabassa, Viviane Rohrig¹; Del Pino, Francisco Augusto Burkert^{1,3}; Corrêa,
8 Marcio Nunes¹.

9

10 ¹Núcleo de Pesquisa, Ensino e Extensão em Pecuária (NUPEEC),
11 Departamento de Clínicas Veterinária, Universidade Federal de Pelotas, CEP:
12 96010-900, Pelotas, Rio Grande do Sul, Brazil;

13 ²Centro de Pesquisa Agroflorestal de Rondônia – Embrapa CPAF, BR 364 - Km
14 5,5 - Zona Rural, Caixa Postal 127 - CEP 76815-800, Porto Velho, Rondônia,
15 Brazil;

16 ³ Departamento de Bioquímica, CCQFA, Universidade Federal de Pelotas,
17 CEP: 96010-900, Pelotas, Rio Grande do Sul, Brazil;

18 ⁴ Departamento de Zootecnia, Faculdade de Agronomia, Universidade Federal
19 de Pelotas, CEP: 96010-900, Pelotas, Rio Grande do Sul, Brazil;

20 ⁵ Faculdade de Nutrição, Universidade Federal de Pelotas, CEP: 96010-610,
21 Pelotas, Rio Grande do Sul, Brazil.

22 Corresponding author: Vinicius Coitinho Tabeleão. E-mail:
23 vinicius.tabeleao@gmail.com

24

25 Effects of butaphosphan and vitamin B12 on the metabolism

26 **Abstract**

27 The aim of this study was to investigate the combined effects of butaphosphan
28 and cyanocobalamin on the metabolism of glucose and protein in dairy cows in
29 the postpartum period. Twenty one dairy cows which were divided into two
30 groups were used: the Control Group (CON, n= 11), which was given a placebo
31 (20 mL/animal 0.9 % NaCl), and the Treatment group (ABC, n= 10) which was
32 administered a solution containing 2 g Butafosfan and 1000 µg Cyanocobalamin
33 (20 mL/animal Catosal[®] B₁₂), both by intramuscular route, on days 7, 12, 17, 22
34 and 27 postpartum. Blood samples were taken on these days for the evaluation
35 of plasma concentrations of phosphorus, glucose, NEFA, albumin, aspartate
36 aminotransferase (AST) and creatine kinase (CK). On days 7 and 28
37 postpartum, the animals were weighted and subjected to the glucose tolerance
38 and insulin challenge tests. The treatment promoted weight loss (ABC 40.4 kg,
39 CON 10.73 kg, P<0.05) and increased AST (ABC 62.92 ±3.31U/L, CON 53.11
40 ±3.49U/L, P<0.05) and CK levels (ABC 134.09 ±19.08U/L, CON 79.43
41 ±18.27U/L). The groups did not differ as to glucose metabolism and half-life
42 rates and area under the curveon days 8 and 28; the treated animals, however,
43 showed higher mean serum glucose levels (P<0.05) after insulin administration
44 on day 28 postpartum (97.54 ±8.54mg/dL) as compared to day 8 (83.01
45 ±8.54mg/dL). It could be concluded that the combined use of butaphosphan and
46 cyanocobalamin interferes with the adaptation of glucose metabolism and
47 promotes protein catabolism in dairy cows in early lactation.

48 **Key words:** Phosphorus, vitamin B12, glucose, insulin resistance

49

50

51 **Implications**

52 Previous studies involving the butaphosphan and cyanocobalamin combination
53 in dairy cows showed improvement in energy status and increase milk
54 production. However, the metabolic pathways that justify these results have not
55 been fully clarified. Thus, this study provides a possible action mechanism of
56 these combination, which can be justified by reduction of the glucose
57 metabolism by peripheries tissues and consequent increase their blood
58 availability. This dynamic provides greater availability of glucose to mammary
59 gland and increased milk production. Furthermore, increased of AST and CK
60 blood concentration, indicate possible catabolism of skeletal muscle due to
61 lower glucose supply, targeted to mammary gland.

62

63 **Introduction**

64 The use of different tools has contributed to the generation of dairy cows
65 with higher production capacity, and, consequently, higher metabolic demands
66 (Patton *et al.*, 2007). These demands are mainly due to the synthesis of
67 colostrum in the prepartum period as well as the synthesis of milk in the
68 postpartum, causing metabolic changes in homeostatic and adaptive processes
69 that characterize this transition period (Castaneda-Gutierrez *et al.*, 2009). In
70 addition, the low dry matter intake (DMI) in this period may further exacerbate
71 metabolic alterations and increase the negative energy balance (NEB) (Heuer
72 *et al.*, 2000).

73 Milk production, which increases in the first weeks postpartum, also
74 increases the demand for glucose by the mammary gland (Mattmiller *et al.*,

75 2011), which requires 72 g glucose per liter of milk produced (Kronfeld, 1982).
76 Some studies have demonstrated that milk production is positively correlated
77 with peripheral insulin resistance, therefore the greater the genetic merit of the
78 herd, the higher the milk production and the higher the insulin resistance and,
79 thus, the lower the glucose metabolism by peripheral tissues (Chagas *et al.*,
80 2009, Zhang *et al.*, 2013).

81 This peripheral insulin resistance is characterized by a decrease in the
82 passage of glucose into the cell, which may be due to a lower expression of
83 insulin receptors (Tsuruzoe *et al.*, 2001) or to the lower production of this
84 hormone by the pancreas (Ning *et al.*, 2011). As a result, peripheral tissues
85 make use of different compounds as energy sources, such as non-esterified
86 fatty acids (NEFA), which are provided by adipose tissue (Ning *et al.*, 2011) or
87 amino acids arising from plasma and / or muscle proteins (De Koster and
88 Opsomer, 2013) which are primarily intended to hepatic gluconeogenesis
89 metabolic routes (Pires *et al.*, 2013).

90 The combined use of butaphosphan, an organic source of phosphorus,
91 and cyanocobalamin, which contributes to the gluconeogenesis process (Kreipe
92 *et al.*, 2011) has proven to have an effect on milk production and the NEB of
93 cows (Pereira *et al.*, 2013). Furthermore, this association decreases the
94 expression of hepatic tissue enzymes, which act on the synthesis of fatty acids,
95 and increases the expression of the β -oxidation enzyme route (Kreipe *et al.*,
96 2011).

97 It was hypothesized that the combined use of butaphosphan and
98 cyanocobalamin enhances peripheral insulin resistance by providing a greater
99 amount of glucose to milk production in dairy cows. Therefore, the aim of this

100 study was to investigate the combined effects of butaphosphan and
101 cyanocobalamin on the metabolism of glucose and protein in dairy cows in the
102 postpartum period.

103

104 **Material and methods**

105

106 *Animals and treatments*

107 The experiment was conducted on a farm in southern Brazil ($32^{\circ} 16' S$, $52 67'$
108 $32' E$) in a pasture production system plus concentrate supplementation after
109 milking. Twenty one cows between 2 and 4 lactations which did not show any
110 clinical problems throughout the experimental period were selected. On days 7,
111 12, 17, 22 and 27 postpartum, the cows were assigned to the following
112 treatments: The Control Group (CON, n=11) was administered saline (20
113 mL/animal 0.9 % NaCl) by intramuscular injection, and the Treatment Group
114 (ABC, n= 10) was administered 2g butaphosphan + 100 µg cyanocobalamin (20
115 mL per animal per application Catosal® B12 Bayer Health Care, São Paulo,
116 Brazil) by intramuscular injection. The average weight of the selected cows at
117 the beginning of the experiment was 588.43 ± 57.3 kg and their body condition
118 score varied between 2 and 3.5 (7.14 % presented score 2; 35.71 % presented
119 score 2.5; 35.71 % presented score 3, and 21.43 % presented score 3.5). Of
120 these, being one very thin and five very fat (Wildman et al., 1982). The cows
121 were milked twice a day (at 5 a.m. and at 5 p.m.) and were supplemented after
122 milking. The diet (Tables 1 and 2) was formulated based on nutritional
123 requirements (NRC, 2001). Between milkings, the animals had *ad libitum*

124 access to water and pasture, which consisted of forage sorghum. Milk
125 production was recorded daily by the ALPRO® Windows software (DeLaval,
126 Kansas City, Mo, USA).

127

128 *Sampling and biochemical analyses*

129 Blood samples were taken on the days of treatment administration (days 7, 12,
130 17, 22 and 27 postpartum), prior to its application. The samples were put into
131 two tubes - tube 1, containing 10 % EDTA and glycolysis pathway inhibitor (12
132 % potassium fluoride), and tube 2, containing only blood. The samples were
133 then centrifuged at 1800 X g for 15 min and frozen at -20º C for subsequent
134 biochemical analyzes, except glucose determination, which was done
135 immediately.

136 The metabolites evaluated were plasma glucose, phosphorus, albumin,
137 aspartate aminotransferase (AST) and creatine kinase (CK) by using
138 commercial kits (Labtest® Diagnóstica S.A., Brazil). The plasma concentration of
139 non-esterified fatty acids (NEFA) was obtained by using a commercial kit (Wako
140 NEFA-HR, Wako Chemicals, USA®) and was performed according to the
141 micromethod(Ballou et al., 2009) by using a plate reader (Thermo Plate® TP-
142 Reader, São Paulo, Brazil): All the other metabolites were analyzed by
143 colorimetric reaction by Visible Light Spectrophotometer (CELM SB 190®,
144 Companhia Equipadora de Laboratórios Modernos – CELM, Brazil).

145

146

147

148 *Glucose tolerance tests (GTT) and insulin administration*

149 On days 8 and 28 postpartum, the animals were weighed and subjected to
150 jugular vein catheterization immediately after milking and before feed
151 supplementation in order to perform the glucose tolerance (GTT) and insulin
152 challenge tests. GTT was done by considering glucose infusion as time zero,
153 and the glucose levels at -5, 0, 15, 30, 45 and 60 minutes after administration
154 were measured to determine the area under the curve (AUC).

155 To calculate the AUC for glucose, the area of the trapezoid formed between
156 two subsequent samplings was used (Regnault et al., 2004), taking into
157 consideration changes in relation to the baseline level of each individual ($\text{Area} =$
158 $(\text{Value Collection 1} - \text{Average of the two baseline collections} + \text{Value Collection}$
159 $2 - \text{Average of the two baseline collections}) * \text{Interval between collections}/2$).

160 The glucose metabolic rate (δ) was defined as the speed of its metabolization
161 ($\text{natural log iT}_{(15 \text{ min})} - \text{natural log fT}_{(60 \text{ min})}/\text{fT difference}_{(60 \text{ min})-\text{iT}_{(15 \text{ min})}) * 100$,
162 where iT means initial time and fT means final time. The time required for
163 glucose to reach half the initial concentration was defined as its half-life rate
164 ($T_{1/2 \text{ min}} = 100 * (0,693/\delta)$) (Chagas et al., 2009).

165 Sixty minutes after glucose infusion, 0.1 UI/kg body weight insulin was
166 applied, and the glucose disappearance rate was calculated by determining
167 glicemia at 60, 65, 70, 75, 90, 120, 150 and 180 min after glucose infusion.

168

169 *Statistical analysis*

170 The data were analyzed by considering animals as experimental units. All
171 variables were subjected to the test of normality by the Shapiro-Wilk test
172 ($p > 0.90$) through the UNIVARIATE Procedure. The variables means was

173 compared was made using the MIXED MODEL procedure, and the approach to
174 determine the degrees of freedom in the denominator was performed by
175 Satterthwaite for tests of fixed effects. The analyses of glucose application and
176 the pre and post insulin application periods, serum, mean serum glucose,
177 phosphorus, AST, CK and NEFA levels, body weight and milk production were
178 compared between treatments, as well as the time of collection and their
179 interaction (Littell et al., 1998) by means of analysis of variance with repeated
180 measures. The autoregressive covariance structure provided the best fit for the
181 analyses according to Akaike's information criterion. However, the first
182 collection was considered as a covariate to make up for initial differences
183 between treatments, being thus included in blood metabolite profiles in the
184 statistical model, except for CK activity, which showed non normal distribution
185 and was consequently analyzed by the nonparametric test by the NPAR1WAY
186 procedure and a one-way classification. In addition, the animals were
187 considered as random effects within treatments. The analyses of the half-life
188 and metabolism rates, area under the cover of glucose and daily weight gain of
189 the animals were individually compared between treatments by means of
190 analysis of variance. The results were presented as mean \pm standard error of
191 the mean (SEM). All statistical analyses were performed using the SAS
192 software (Littell et al., 1998. SAS Institute Inc., Cary, NC, USA). Differences
193 were considered significant when $P \leq 0.05$.

194

195

196

197 **Results**

198 The half-life, metabolism and AUC glucose rates which were determined
199 between 0 and 60 minutes ($\text{GTT}_{0-60\text{min}}$, Table 3) on days 8 and 28 postpartum
200 did not differ ($P>0.05$) between treatments. Nevertheless, the insulin challenge
201 showed an interaction between group and collection ($P=0.02$) in mean plasma
202 glucose levels after insulin administration (between 60 and 180 minutes) in the
203 ABC (Figure 1); on day 8 postpartum, the mean glucose levels (83.01 ± 8.54
204 mg/dL) were lower than those on day 28 postpartum (97.54 ± 8.54 mg/dL). The
205 same effect, however, was not observed in the CON ($P>0.05$) (Figure 1). In
206 spite of this, mean plasma glucose levels did not differ between treatments and
207 collections ($P>0.05$) on application days (Table 4). As to the period before
208 insulin administration, no differences were observed between treatments,
209 collections and their interactions ($P>0.05$) (Figure 1).

210 The body weight (Figure 2) of the animals in the ABC was lower ($P=0.0046$)
211 on day 28, as compared to their weight on day 8. Also, differences between
212 groups on day 28 were observed ($P=0.0433$). Thus, the average daily weight
213 gain (kg) (Table 4) was lower ($P=0.0088$) for ABC animals when compared to
214 the CON. As to milk production (Table 4), differences between collections were
215 observed ($P=0.03$), though there were no significant differences between
216 groups, or in the group - collection interaction.

217 Plasma concentrations of phosphorus, albumin and NEFA (Table 4)
218 obtained during treatment did not differ ($P>0.05$) between groups, collections
219 and their interactions. However, CK and AST activities were higher in the ABC
220 ($P=0.04$ and $P=0.05$, respectively) as compared to the CON, but there were no

221 significant differences between the collections and the group - collection
222 interaction ($P>0.05$).

223

224 **Discussion**

225 The higher CK ($P=0.04$) and AST ($P=0.05$) activities - the former muscle
226 tissue specific and the latter found both in liver and muscle tissues (Shpigel et
227 al., 2003) – observed in the ABC suggests greater muscle catabolism in the
228 treated animals (Table 4) as contrasted with the CON, which gained weight
229 during the experimental period. Still, a previous study used a similar treatment,
230 found no changes in the muscle and lipid deposition of the animals, once the
231 evaluation method used was body condition score (Pereira *et al.*, 2013). This
232 methodology shows low sensitivity to detect small body weight variations,
233 besides being subjective and demanding many observations (Loker *et al.*, 2013,
234 Pires *et al.*, 2013).

235 Furthermore, the weight loss may result from a reduction in the glucose
236 supply to the skeletal muscle due to a reduced expression of insulin receptors,
237 which are necessary for the internalization of insulin through glucose transporter
238 type 4 (GLUT4) (Abe *et al.*, 1997, Duehlmeier *et al.*, 2013, Zhang *et al.*, 2013).
239 This decrease in receptor expression has been demonstrated by other studies
240 as being a physiological mechanism(Bell and Bauman, 1997, Kerestes *et al.*,
241 2009) which aims to decrease glucose use by peripheral tissues and increase
242 its availability to the mammary gland(Bell, 1995, Mattmiller *et al.*, 2011). This
243 also increases the availability of amino acids for gluconeogenesis (Roche *et al.*,
244 2009, De Koster and Opsomer, 2013), promoting the conversion of methyl
245 malonyl-CoA into succinyl-CoA by methyl malonyl-CoA mutase, which is

246 cyanocobalanin-dependent. This is an important route for the entry of
247 propionate into the Krebs Cycle to synthesize energy (Furll *et al.*, 2010). This
248 adaptive mechanism (Roche *et al.*, 2009) could be observed in the treated
249 animals (Figure 1) which, after insulin administration, showed a decreased
250 glucose metabolism at the end of the treatment (28 days postpartum) as
251 compared to the beginning (8 days postpartum).

252 Therefore, the weight loss and muscle catabolism observed in the animals
253 treated may be related to the high energy demand generated by an increased
254 milk production (Roche *et al.*, 2006, Chagas *et al.*, 2009), which was 5.2 kg/day
255 higher for the ABC animals (Table 4). This may have resulted from the
256 synthesis of lactose, which occurs from glucose. The former is responsible for
257 50% of the osmotic pressure, partially determining the milk volume (Boutinaud
258 *et al.*, 2008). The fact that there were no differences in milk production is due to
259 the high dispersion of this variable; thus, a larger number of observations are
260 needed (El Faro and Albuquerque, 2003). Besides, this was not the central
261 hypothesis of this study, other authors have already demonstrated an increase
262 in the production of dairy cows supplemented with 5 doses of 1000 mg
263 butaphosphan and 0.5 mg cyanocobalamin (Pereira *et al.*, 2013), or 3 doses of
264 10 mg butaphosphan and 0.05 mg cyanocobalamin/kg body weight (Kreipe *et*
265 *al.*, 2011).

266 As to GTT_{0-60min}, no differences in half life and glucose degradation rates and
267 area under the curve (Table 3) were found. These results suggest that the
268 homeostatic mechanisms of glucose metabolism which are mediated by
269 endogenous insulin (Balogh *et al.*, 2009) were not altered by the successive

270 associated doses of butaphosphan and cyanocobalamin, thus keeping a
271 constant transport speed of plasma into the cells (Duehlmeier *et al.*, 2013).

272 Similarly, plasma levels of the other metabolites evaluated were not altered
273 by supplementation,. This can be attributed to either the low butaphosphan
274 plasma half life, once it can be detected in the urine flow 116 minutes after
275 intravenous application (EMEA, 2000) or to its use in the phosphorylation of
276 proteins that act on energy metabolism pathways (Grunberg *et al.*, 2009). The
277 same was true for mean albumin levels, thus demonstrating that the hepatic
278 conditions of protein anabolism and catabolism, as well as the supply of dietary
279 protein (Raggio *et al.*, 2007), were similar for both groups, being suitable for the
280 transition period but lower than those of cows over 100 days of lactation
281 (Alberghina *et al.*, 2011). Likewise, NEFA, which measures the intensity of
282 lipolysis in the adipose tissue (Patton *et al.*, 2007, Rocco and McNamara,
283 2013), showed molar equivalence between groups, signaling there were no
284 lipolysis differences between treatments.

285 Therefore, this study suggests that the combined use of butaphosphan and
286 cyanocobalamin has the ability to enhance the adaptive physiological processes
287 of the glucose metabolism, as well as influence the rate of muscle protein
288 metabolism in dairy cows, which integrate the transition period.

289

290 Conclusion

291 The combined methaphylacticuse of butaphosphan and cyanocobalamine
292 interferes with the glucose metabolism and muscle protein catabolism in dairy
293 cows during the negative energy balance period.

294

295 **References**

296

- 297 Abe H, Morimatsu M, Nikami H, Miyashige T and Saito M 1997. Molecular
298 cloning and mRNA expression of the bovine insulin-responsive glucose
299 transporter (GLUT4). *Journal of Animal Science* 75, 182-188.
- 300 Alberghina D, Giannetto C, Vazzana I, Ferrantelli V and Piccione G 2011.
301 Reference intervals for total protein concentration, serum protein fractions,
302 and albumin/globulin ratios in clinically healthy dairy cows. *Journal of
303 Veterinary Diagnostic Investigation* 23, 111-114.
- 304 Ballou MA, Gomes RC, Juchem SO and DePeters EJ 2009. Effects of dietary
305 supplemental fish oil during the peripartum period on blood metabolites
306 and hepatic fatty acid compositions and total triacylglycerol concentrations
307 of multiparous Holstein cows. *Journal of Dairy Science* 92, 657-669.
- 308 Balogh O, Kovacs K, Kulcsar M, Gaspardy A, Zsolnai A, Katai L, Pecsi A, Fesus
309 L, Butler WR and Huszenicza G 2009. Alul polymorphism of the bovine
310 growth hormone (GH) gene, resumption of ovarian cyclicity, milk
311 production and loss of body condition at the onset of lactation in dairy
312 cows. *Theriogenology* 71, 553-559.
- 313 Bell AW 1995. Regulation of organic nutrient metabolism during transition from
314 late pregnancy to early lactation. *Journal of Animal Science* 73, 2804-
315 2819.
- 316 Bell AW and Bauman DE 1997. Adaptations of Glucose Metabolism During
317 Pregnancy and Lactation. *Journal of Mammary Gland Biology and
318 Neoplasia* 2, 265-278.

- 319 Boutinaud M, Ben Chedly MH, Delamaire E and Guinard-Flament J 2008.
- 320 Milking and feed restriction regulate transcripts of mammary epithelial cells
- 321 purified from milk. *J Dairy Sci* 91, 988-998.
- 322 Castaneda-Gutierrez E, Pelton SH, Gilbert RO and Butler WR 2009. Effect of
- 323 peripartum dietary energy supplementation of dairy cows on metabolites,
- 324 liver function and reproductive variables. *Anim Reprod Sci* 112, 301-315.
- 325 Chagas LM, Lucy MC, Back PJ, Blache D, Lee JM, Gore PJ, Sheahan AJ and
- 326 Roche JR 2009. Insulin resistance in divergent strains of Holstein-Friesian
- 327 dairy cows offered fresh pasture and increasing amounts of concentrate in
- 328 early lactation. *J Dairy Sci* 92, 216-222.
- 329 De Koster JD and Opsomer G 2013. Insulin resistance in dairy cows. *Vet Clin*
- 330 North Am Food Anim Pract
- 29, 299-322.
- 331 Duehlmeier R, Noldt S and Ganter M 2013. Pancreatic insulin release and
- 332 peripheral insulin sensitivity in German black headed mutton and Finish
- 333 Landrace ewes: evaluation of the role of insulin resistance in the
- 334 susceptibility to ovine pregnancy toxemia. *Domest Anim Endocrinol* 44,
- 335 213-221.
- 336 El Faro L and Albuquerque LG 2003. Estimação de Parâmetros Genéticos para
- 337 Produção de Leite no Dia do Controle e Produção Acumulada até 305
- 338 dias, para as Primeiras Lactações de Vacas da Raça Caracu. *R. Bras.*
- 339 Zootec
- 32, 284-294.
- 340 EMEA 2000. Insulin resistance in adipose tissue: direct and indirect (Butafosfan
- 341 - Extension to lactating cows). The European Agency for the Evaluation of
- 342 Medicinal Products Veterinary Medicines and Information Technology
- 343 Unuit.

- 344 Furll M, Deniz A, Westphal B, Illing C and Constable PD 2010. Effect of multiple
345 intravenous injections of butaphosphan and cyanocobalamin on the
346 metabolism of periparturient dairy cows. *J Dairy Sci* 93, 4155-4164.
- 347 Grunberg W, Staufenbiel R, Constable PD, Dann HM, Morin DE and Drackley
348 JK 2009. Liver phosphorus content in Holstein-Friesian cows during the
349 transition period. *J Dairy Sci* 92, 2106-2117.
- 350 Heuer C, Van Straalen WM, Schukken YH, Dirkzwager A and Noordhuizen
351 JPTM 2000. Prediction of energy balance in a high yielding dairy herd in
352 early lactation: model development and precision. *Livestock Production
353 Science* 65, 91-105.
- 354 Kerestes M, Faigl V, Kulcsar A, Balogh O, Foldi J, Febel H, Chilliard Y and
355 Huszenicz G 2009. Periparturient insulin secretion and whole-body
356 insulin responsiveness in dairy cows showing various forms of ketone
357 pattern with or without puerperal metritis. *Domestic Animal Endocrinology*
358 37, 250-261.
- 359 Kreipe L, Deniz A, Bruckmaier RM and van Dorland HA 2011. First report about
360 the mode of action of combined butafosfan and cyanocobalamin on
361 hepatic metabolism in nonketotic early lactating cows. *Journal of Dairy
362 Science* 94, 4904-4914.
- 363 Kronfeld DS 1982. Major metabolic determinants of milk volume, mammary
364 efficiency, and spontaneous ketosis in dairy cows. *J Dairy Sci* 65, 2204-
365 2212.
- 366 Littell RC, Henry PR and Ammerman CB 1998. Statistical analysis of repeated
367 measures data using SAS procedures. *Journal of Animal Science* 76,
368 1216-1231.

- 369 Loker S, Bastin C, Miglior F, Sewalem A, Schaeffer LR, Jamrozik J, Osborne V
370 and Ali A 2013. Development of a genetic evaluation for body condition
371 score for Canadian Holsteins. *Journal of Dairy Science* 96, 3994-4004.
- 372 Mattmiller SA, Corl CM, Gandy JC, Loor JJ and Sordillo LM 2011. Glucose
373 transporter and hypoxia-associated gene expression in the mammary
374 gland of transition dairy cattle. *J Dairy Sci* 94, 2912-2922.
- 375 Ning J, Hong T, Yang X, Mei S, Liu Z, Liu HY and Cao W 2011. Insulin and
376 insulin signaling play a critical role in fat induction of insulin resistance in
377 mouse. *Am J Physiol Endocrinol Metab* 301, E391-401.
- 378 Patton J, Kenny DA, McNamara S, Mee JF, O'Mara FP, Diskin MG and Murphy
379 JJ 2007. Relationships among milk production, energy balance, plasma
380 analytes, and reproduction in Holstein-Friesian cows. *J Dairy Sci* 90, 649-
381 658.
- 382 Pereira RA, Silveira PAS, Montagner P, Schneider A, Schmitt E, Rabassa VR,
383 Pfeifer LFM, Del Pino FAB, Pulga ME and Correa MN 2013. Effect of
384 butaphosphan and cyanocobalamin on postpartum metabolism and milk
385 production in dairy cows. *Animal* 7, 1143-1147.
- 386 Pires JAA, Delavaud C, Faulconnier Y, Pomiès D and Chilliard Y 2013. Effects
387 of body condition score at calving on indicators of fat and protein
388 mobilization of periparturient Holstein-Friesian cows. *Journal of dairy*
389 *science* 96, 6423-6439.
- 390 Raggio G, Lobley GE, Berthiaume R, Pellerin D, Allard G, Dubreuil P and
391 Lapierre H 2007. Effect of protein supply on hepatic synthesis of plasma
392 and constitutive proteins in lactating dairy cows. *Journal of Dairy Science*
393 90, 352-359.

- 394 Regnault TR, Oddy HV, Nancarrow C, Sriskandarajah N and Scaramuzzi RJ
395 2004. Glucose-stimulated insulin response in pregnant sheep following
396 acute suppression of plasma non-esterified fatty acid concentrations.
397 Reprod Biol Endocrinol 2, 64.
- 398 Rocco SM and McNamara JR 2013. Regulation of bovine adipose tissue
399 metabolism during lactation. 7. Metabolism and gene expression as a
400 function of genetic merit and dietary energy intake. Journal of dairy
401 science 96, 3108-3119.
- 402 Roche JR, Berry DP and Kolver ES 2006. Holstein-Friesian strain and feed
403 effects on milk production, body weight, and body condition score profiles
404 in grazing dairy cows. Journal of Dairy Science 89, 3532-3543.
- 405 Roche JR, Friggins NC, Kay JK, Fisher MW, Stafford KJ and Berry DP 2009.
406 Invited review: Body condition score and its association with dairy cow
407 productivity, health, and welfare. Journal of Dairy Science 92, 5769-5801.
- 408 Shpigel NY, Avidar Y and Bogin E 2003. Value of measurements of the serum
409 activities of creatine phosphokinase, aspartate aminotransferase and
410 lactate dehydrogenase for predicting whether recumbent dairy cows will
411 recover. Veterinary Record 152, 773-776.
- 412 Tsuruzoe K, Emkey R, Kriauciunas KM, Ueki K and Kahn CR 2001. Insulin
413 receptor substrate 3 (IRS-3) and IRS-4 impair IRS-1- and IRS-2-mediated
414 signaling. Mol Cell Biol 21, 26-38.
- 415 Wildman EE, Jones GM, Wagner PE, Boman RL, Troutt HF and Lesch TN
416 1982. A Dairy-Cow Body Condition Scoring System and Its Relationship to
417 Selected Production Characteristics. Journal of dairy science 65, 495-501.

418 Zhang ZG, Wang JG, Gao RF, Zhang WQ, Li XW, Liu GW, Li XB, Wang Z and
419 Zhu XL 2013. High-Energy Diet at Antepartum Decreases Insulin Receptor
420 Gene Expression in Adipose Tissue of Postpartum Dairy Cows. Bulletin of
421 the Veterinary Institute in Pulawy 57, 203-207.

422 **Table 1:** Diet composition and daily feeding during postpartum period of
 423 the dairy cows.

| Feed | Kg |
|---------------------|-------------------|
| Forage sorghum | <i>Ad libitum</i> |
| Haylages | 15.000 |
| Wheat bran | 1.500 |
| Soybean bran | 2.400 |
| Rice bran | 2.880 |
| Ground corn | 3.000 |
| Ground sorghum | 2.130 |
| Mineral Supplements | 0.110 |
| Urea | 0.090 |
| Sodium bicarbonate | 0.190 |
| Calcitic limestone | 0.190 |
| Salt | 0.002 |

424

425

426

427

428

429

430

431

432 **Table 2:** Chemical composition (%) of feed

| Analyses | Forage | Haylage | Concentrate |
|------------------|--------|---------|-------------|
| Dry Matter | 27.40 | 52.94 | 87.31 |
| NDF ¹ | 64.32 | 63.46 | 32.57 |
| ADF ² | 41.74 | 45.75 | 13.14 |
| Protein | 9.84 | 8.88 | 14.92 |
| Ether extract | 2.02 | 2.00 | 4.01 |
| Total minerals | 9.99 | 8.84 | 9.02 |

433 ¹NDF = Neutral Detergent Fiber.434 ²ADF = Acid detergent Fiber.

435

436

437

438

439 **Table 3:** Effects of the use of successive doses of a butaphosphan and
 440 cyanocobalamin combination on the glucose tolerance test (GTT0-60min), half
 441 life rate, metabolism rate and area under the curve (AUC) of dairy cows

| Parameters | CON ¹ | | ABC ² | | P ³ |
|---------------------------------------|------------------|---------|------------------|---------|----------------|
| | Mean | (±) SEM | Mean | (±) SEM | |
| GTT D8⁴ | | | | | |
| Glucose half-life rate (%) | 58.46 | 6.71 | 61.90 | 7.04 | 0.73 |
| Metabolism rate (min) | 1.31 | 0.14 | 1.30 | 0.15 | 0.95 |
| Glucose AUC ⁶ 0 – 60 mg/dL | 7225.18 | 284.03 | 6719.20 | 297.89 | 0.23 |
| GTT D28⁵ | | | | | |
| Glucose half-life rate (%) | 61.26 | 7.98 | 64.96 | 8.37 | 0.75 |
| Metabolism rate (min) | 1.39 | 0.19 | 1.25 | 0.20 | 0.61 |
| Glucose AUC ⁶ 0 – 60 mg/dL | 7068.45 | 472.61 | 6973.40 | 495.67 | 0.89 |

442 ¹CON = Control Group (n=11; NaCl 0.9%; 20 mL/animal);

443 ²ABC = Catosal Group (n=10; 20 mL Catosal® B12®/animal per application)

444 ³ Probability value

445 ⁴ GTT D8 = Glucose Tolerance Test 8 days postpartum;

446 ⁵GTT D28 = Glucose Tolerance Test 28 days postpartum;

447 ⁶AUC = Area under the Curve;

448

449

450

451 **Table 4:** Effects of the use of successive doses of a butaphosphan and cyanocobalamin combination on average daily weight gain
 452 (ADG) (kg), milk production (kg), NEFA (mmol/L), phosphorus (mg/dL), glucose (mg/dL), albumin (g/L), AST (U/L) and CK (U/L)
 453 levels.

| Parameters | CON ¹ | | ABC ² | | Group | Collection | P ³ | Group * Collection | Cov ⁸ |
|----------------------------|--------------------|---------|---------------------|---------|-------|------------|----------------|--------------------|------------------|
| | Mean | (±) SEM | Mean | (±) SEM | | | | | |
| Productive | | | | | | | | | |
| ADG ⁴ (kg) | 0.502 ^b | 0.63 | -2.007 ^a | 0.576 | <0.01 | † | † | † | † |
| Milk production (kg) | 24.52 | 1.99 | 29.67 | 2.42 | 0.13 | 0.03 | 0.54 | † | |
| Biochemical | | | | | | | | | |
| NEFA ⁵ (mmol/L) | 0.245 | 0.04 | 0.338 | 0.04 | 0.16 | 0.15 | 0.51 | 0.06 | |
| Phosphorus (mg/dL) | 8.86 | 1.52 | 7.55 | 2.14 | 0.63 | 0.48 | 0.85 | 0.31 | |
| Glucose (mg/dL) | 68.14 | 6.10 | 80.55 | 5.10 | 0.14 | 0.27 | 0.43 | 0.13 | |
| Albumin (g/L) | 21.00 | 1.41 | 20.99 | 1.47 | 0.33 | 0.13 | 0.44 | <0.01 | |

| | | | | | | | | |
|------------------------|--------------------|-------|---------------------|-------|------|------|------|-------|
| AST ⁶ (U/L) | 53.11 ^b | 3.49 | 62.92 ^a | 3.31 | 0.05 | 0.16 | 0.97 | <0.01 |
| CK ⁷ (U/L) | 79.43 ^b | 18.27 | 134.09 ^a | 19.08 | 0.04 | † | † | † |

454 ¹CON = Control Group (n=11; NaCl 0.9%; 20 mL/animal);

455 ²ABC = Catosal Group (n=10; 20 mL Catosal® B12®/animal per application)

456 ³Probability value

457 ⁴ADG = Average Daily Gain;

458 ⁵NEFA = Non-esterified Fatty Acid;

459 ⁶AST = Aspartate aminotransferase;

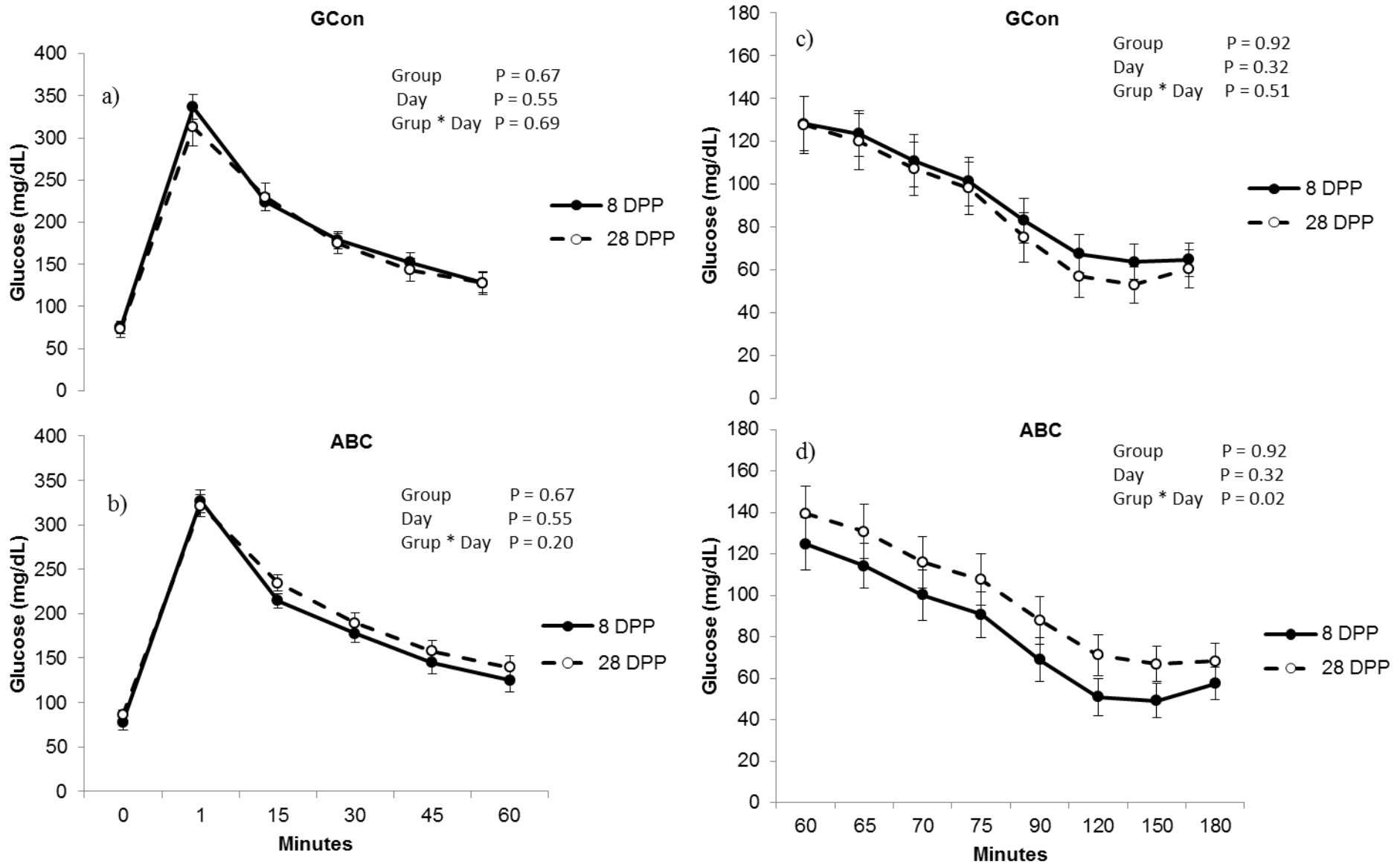
460 ⁷CK = Creatine kinase;

461 ⁸Cov = covariate;

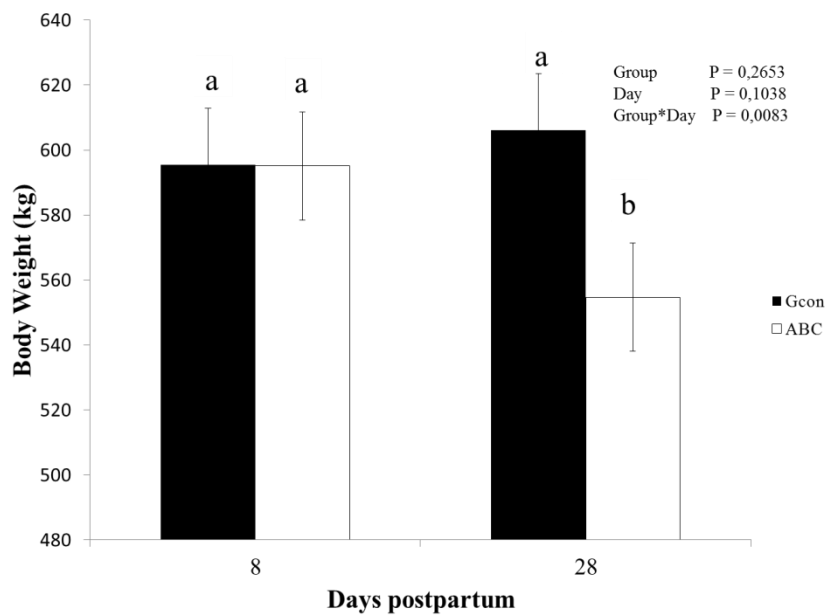
462 † = Not applicable;

463 ^{a,b} Values within a row with different superscripts differ significantly at $P<0.05$.

464



466 **Figure 1:** Mean plasma glucose levels (mg/dL) of milky cows submitted to successive applications of butaphosphan and
467 cyanocobalamine. Mean glucose levels in the control group (CON n=11; NaCl 0.9%; 20 mL/animal) prior to insulin application (a);
468 Mean plasma glucose levels (mg/dL) in the catosal group (ABC n=10; 20 mL Catosal® B12®/animal per application) prior to insulin
469 application (b); Mean plasma glucose levels (mg/dL) in the control group (CON n=11; NaCl 0.9%; 20 mL/animal) after insulin
470 application (c); Mean plasma glucose levels (mg/dL) in the catosal group (ABGC n=10; 20 mL Catosal® B12®/animal per
471 application) after insulin application (d).



472

473 **Figure 2:** Animal body weight average (kg) on days 8 and 28 postpartum in the
474 control group (CON n=11; NaCl 0.9%; 20 mL/animal) and Catosal group (ABC
475 n=10; 20 mL Catosal® B12®/animal per application). Distinct letters show a
476 P<0.05 difference

**3.2. Artigo 2: Butafosfan e cianocobalamina: efeito na recuperação da
glândula mamária de vacas leiteiras após o tratamento de mastite
clínica**

Tabeleão, Vinicius Coitinho; Pereira, Rubens Alves; Prietsch, Rafael da Fonsceca; Feijó, Josiane de Oliveira, Mattei, Patrícia; Kivel, Taís Helena; Bondan, Carlos; Schwegler, Elizabeth; Schmitt, Eduardo; Brauner, Cassio Cassal; Rabassa, Viviane Rohrig; Del Pino, Francisco Augusto Burkert; Corrêa, Marcio Nunes.

O Artigo será submetido à revista: Journal of Animal Physiology and Animal Nutrition.

1 **Artigo 2: Butafosfan e cianocobalamina: efeito na recuperação da**
2 **glândula mamária de vacas leiteiras após o tratamento de mastite clínica.**

3

4 **Efeito do butafosfan e cianocobalamina na glândula mamária**

5

6 Tabeleão, Vinicius Coitinho¹; Schwegler, Elizabeth¹; Prietsch, Rafael da
7 Fonsceca¹; Feijó, Josiane de Oliveira¹, Bondan, Carlos^{1,5}; Mattei, Patrícia¹;
8 Kivel, Taís Helena¹; Schmitt, Eduardo^{1,2}; Pereira, Rubens Alves¹; Brauner,
9 Cassio Cassal^{1,4}; Rabassa, Viviane Rohrig¹; Del Pino, Francisco Augusto
10 Burkert^{1,3}; Corrêa, Marcio Nunes¹.

11

12 ¹Núcleo de Pesquisa, Ensino e Extensão em Pecuária (NUPEEC),
13 Departamento de Clínicas Veterinária, Universidade Federal de Pelotas, CEP:
14 96010-900, Pelotas, Rio Grande do Sul, Brazil;

15 ²Centro de Pesquisa Agroflorestal de Rondônia – Embrapa CPAF, BR 364 - Km
16 5,5 - Zona Rural, Caixa Postal 127 - CEP 76815-800, Porto Velho, Rondônia,
17 Brazil;

18 ³ Departamento de Bioquímica, CCQFA, Universidade Federal de Pelotas,
19 CEP: 96010-900, Pelotas, Rio Grande do Sul, Brazil;

20 ⁴ Departamento de Zootecnia, Faculdade de Agronomia, Universidade Federal
21 de Pelotas, CEP: 96010-900, Pelotas, Rio Grande do Sul, Brazil;

22 ⁵ Serviços de Análise de Rebanhos Leiteiros (SARLE). Faculdade de
23 Agronomia e Medicina Veterinária, Universidade de Passo Fundo, CEP: 99001-
24 970, Passo Fundo, Rio Grande do Sul, Brazil.

25

26 Autor Correspondente: Vinicius Coitinho Tabeleão.

27 E-mail: vinicius.tabeleao@gmail.com

28

29

30 **RESUMO**

31 O objetivo deste estudo foi avaliar o efeito da associação de butafosfan e
32 cianocobalamina na recuperação de glândula mamária de vacas leiteiras após
33 o tratamento da mastite clínica. Foram utilizadas 32 vacas diagnosticadas com
34 mastite clínica e categorizadas em: Mastite Leve (n=18; somente leite
35 coagulado), tratadas com uma associação de tetraciclina (200mg), neomicina
36 (250mg), bacitracina (2000UI) e prednisolona (10mg), de aplicação
37 intramamária; Mastite Moderada (n=14; leite coagulado e sinais clínicos),
38 tratadas com sulfato de cefquinoma de uso intramamário e sulfato de
39 cefquinoma injetável. Dentro de cada categoria de mastite, dividiu-se os
40 animais em dois grupos: Controle (CON, n=15) que recebeu três aplicações i.v
41 de placebo (NaCl 0,9%; 0,1 mL/kg de PV); Grupo Tratado (BFC, n=17) que
42 recebeu três aplicações de 10mg de butafosfan+5µg de cianocobalamina/kg de
43 PV (Catosal® B₁₂, Bayer Health Care, São Paulo, Brasil), com intervalos de
44 cinco dias entre as suplementações. Amostras de sangue foram coletadas
45 após cada ordenha, nos tempos -12, 12 e 36 horas em relação a
46 suplementação, para as avaliações das concentrações plasmáticas de glicose,
47 albumina, proteínas plasmáticas totais (PPT) e ácidos graxos não esterificados
48 (AGNES). Amostras de leite foram coletadas individualmente por amostragem
49 da ordenha completa, sendo realizada nos períodos de -12, 0, 12, 24 e 36
50 horas em relação a cada suplementação, para análise das concentrações de

51 proteína, caseínas totais, lactose, gordura, sólidos totais e ureia, além da
52 determinação do pH, da crioscopia, da densidade e contagem de células
53 somáticas (CCS). As análises comparativas entre as mastites, leve e
54 moderada, não diferiram em nenhum dos parâmetros ($P>0,05$). A CCS média
55 no grupo BFC (373.760 ± 180.610 células/mL) foi menor ($P=0,02$) após a
56 terceira dose de BFC, quando comparado com o grupo CON (1.112.630
57 ± 405.810 células/mL). O peso corporal, as concentrações de glicose, albumina,
58 PPT, AGNES e os componentes químicos e físicos do leite também não
59 diferiram ($P>0,05$) entre os grupos. Nossos resultados mostram que a
60 suplementação com butafosfan e cianocobalamina após o tratamento da
61 mastite clínica de vacas leiteiras pode contribuir para o processo de
62 recuperação da glândula mamária.

63

64 **Palavras chave:** mastite clínica, butafosfan, vitamina B12, vacas leiteiras.

65

66

67

68 **ABSTRACT**

69 The aim of this study was to evaluate the effects of butaphosphan and
70 cyanocobalamin (BFC) supplementation on the recovery of mammary gland in
71 dairy cows after clinical mastitis treatment. Thirty two cows diagnosed with
72 clinical mastitis were categorized into two groups: Mild mastitis (n=18; just
73 coagulated milk), treated with a combination of tetracycline (200mg), neomycin
74 (250 mg) , bacitracin (2000IU) and prednisolone (10 mg), of intramammary
75 application; and Moderate mastitis (n=14; coagulated milk and clinical signs),
76 treated with intramammary cefquinome and an injection of cefquinome sulfate.
77 Within each mastitis category, the animals were divided into two groups: control
78 (CON, n=15), that received three applications of placebo i.v. (0.9% NaCl, 0.1
79 ml/kg BW) and treatment group (BFC, n=17) that received three injections,
80 every five days, of 10mg butaphosphan +5mg cyanocobalamin/kg BW
81 (Catosal® B₁₂, Bayer Health Care, São Paulo, Brazil). Blood samples were
82 collected after each milking on -12, 12 and 36 hours in relation to the
83 supplementation, for analysis of glucose, albumin, total plasma proteins (TPP)
84 and non-esterified fatty acids (NEFA). Milk samples were collected individually
85 by sampling the complete milking on -12, 0, 12, 24 and 36 hours for each
86 supplementation for analysis of total proteins, total casein, lactose, fat, total
87 solids and urea, besides the pH value, freezing point, density and somatic cell
88 count (SCC). Comparative analyzes between mastitis, mild and moderate, were
89 not different (P>0.05) in any parameters analyzed. The SCC average of the
90 BFC group (373,760 ± 180,610 cells/ml) were lower (P=0.02) after the third
91 injection of BFC compared with CON group (1,112,630 ± 405 810 cells / mL).
92 Body weight, concentrations of glucose, albumin, TPP, NEFA and the chemical

93 and physical components of milk were similar ($P>0.05$) among groups. Our
94 results show that supplementation with butaphosphan and cyanocobalamin
95 after treatment of clinical mastitis in dairy cows may contribute to the recovery
96 process of the mammary gland.

97

98 **Key words:** clinical mastitis butaphosphan, vitamin B12, dairy cows.

99 INTRODUÇÃO

100

101 A mastite clínica é uma das enfermidades com maior ocorrência em
102 vacas leiteiras, causando prejuízos aos sistemas de produção e à indústria de
103 lacticínios (Mehrzed *et al.*, 2004). Esta doença pode ser originada a partir de
104 traumas mecânicos (devido ao mau uso de máquinas e equipamentos), por
105 agentes químicos ou como resultado de infecções causadas por
106 microrganismos como bactérias, fungos e vírus (Oviedo-Boys *et al.*, 2007).

107 A mastite pode ocorrer na forma clínica apresentando sinais de dor,
108 edema, hiperemia e alterações macroscópicas das características do leite
109 (Shim *et al.*, 2004). Com base nesses achados, a mastite pode ser classificada
110 de acordo com o grau de intensidade em leve, moderada e grave (Parra *et al.*,
111 2009). O tratamento pode ser somente na forma tópica (intramamário),
112 sistêmica (injetável) ou, ainda, com a combinação de ambas as vias, variando
113 de acordo com a intensidade do quadro clínico. Esses tratamentos têm
114 demonstrado eficácia na cura dos animais com mastite clínica, contando para
115 isso com diversos protocolos terapêuticos e princípios ativos (Bradley and
116 Green, 2009, Kleen *et al.*, 2009, Schukken *et al.*, 2011). Entretanto, o processo
117 de recuperação da glândula mamária depende do correto manejo e eliminação
118 do agente causador (Trevisi *et al.*, 2014), prevenindo uma reincidiva ou, até
119 mesmo, evitando a forma subclínica da enfermidade.

120 A mastite subclínica é diagnosticada, principalmente, pela contagem de
121 células somáticas (CCS), que serve como indicador de saúde da glândula
122 (Boutet *et al.*, 2004). As células somáticas são compostas por leucócitos e
123 células epiteliais descamadas da glândula mamária (Paape *et al.*, 2003, Boutet

124 *et al.*, 2004, Mehrzad *et al.*, 2004) presentes em condição normais, entretanto,
125 sob infecção ocorre o aumento de células leucocitárias. Os leucócitos são
126 constituídos de linfócitos, macrófagos e neutrófilos, este último representando
127 mais de 90% dessas células (Kehrli and Shuster, 1994, Sharif and Muhammad,
128 2008, Sharma *et al.*, 2011) e são atraídos para o local da inflamação através de
129 citocinas pró-inflamatórias (Paape *et al.*, 2003, Boutet *et al.*, 2004, Oviedo-
130 Boyso *et al.*, 2007).

131 Assim, lesões na glândula mamária podem ter repercussão sistêmica
132 no organismo animal, com alterações significativas que podem prejudicar
133 outros tecidos e comprometer a produção leiteira (Moyes *et al.*, 2009). Além
134 disso, as alterações metabólicas podem interferir na resposta imunológica
135 celular, levando à diminuição na capacidade de resposta do sistema celular
136 (Moyes *et al.*, 2009, Parra *et al.*, 2009).

137 Outro sinal importante tanto no inicio da doença quanto na recuperação
138 da glândula mamária acometida por mastite, relaciona-se as característica do
139 leite, já que podem surgir alterações nas concentrações de proteína, lactose e
140 atividade enzimática, causando diminuição destes compostos (Bruckmaier *et*
141 *al.*, 2004, Ogola *et al.*, 2007), os quais quando degradados podem alterar as
142 condições físicas do leite.

143 Diante dos desafios da produção leiteira tem-se utilizado a associação
144 de butafosfan e cianocobalamina a fim de intensificar as reações enzimáticas
145 do metabolismo energético. Esta associação já demonstrou aumento da
146 produção leiteira e de proteínas do leite, além de redução na concentração de
147 ácidos graxos não esterificados e prevenção de cetose (Rollin *et al.*, 2010,

148 Kreipe *et al.*, 2011). Entretanto, estudos sobre seus efeitos na recuperação da
149 glândula mamária acometida por mastite ainda não tem sido relatados.

150 O objetivo deste estudo foi avaliar o efeito da associação de butafosfan
151 e cianocobalamina na recuperação de glândula mamária de vacas leiteiras
152 após o tratamento da mastite clínica. A hipótese é que a suplementação de
153 butafosfan e cianocobalamina pode contribuir para o processo de recuperação
154 da glândula mamária.

155

156

157 MATERIAL E MÉTODOS

158

159 Local, animais e manejo

160 Para este estudo, foram utilizadas 32 vacas da raça Holandês,
161 mantidas sob sistema de semi-confinamento (concentrado e pastagem) em um
162 rebanho comercial no sul do Brasil ($32^{\circ} 16' S$, $52 67' 32' E$). As vacas eram
163 ordenhadas duas vezes ao dia (10:00 e 22:00 hrs) e recebiam uma dieta
164 (Tabela 1) formulada com base nas exigências nutricionais (NRC, 2001)
165 composta de concentrado e volumoso (Azevém - *Lolium multiflorum*), fornecido
166 aos animais no intervalo entre as ordenhas. Todos os animais foram pesados
167 no inicio do experimento e obtiveram média de peso de $651,39 \pm 53,19$ kg. No
168 momento de cada aplicação os mesmos foram pesados, a fim de que pudesse
169 ser realizado o ajuste da dosagem, além do acompanhamento do
170 desenvolvimento corporal.

171

172

173 **Diagnóstico e terapia de mastite**

174 Para este estudo, foram selecionados apenas animais com diagnóstico
175 de mastite clínica, através do teste da caneca de fundo escuro (Parra *et al.*,
176 2009), os quais foram categorizados em:

177 1) **Mastite Leve**: ausência de sinais clínicos, mas com presença de grumos.
178 Estes animais foram tratados com uma associação de tetraciclina (200mg),
179 neomicina (250mg), bacitracina (2000UI) e prednisolona (10mg), através de
180 infusão intramamária (Mastijet Forte®, MSD Saúde Animal, São Paulo, Brasil)
181 no quarto acometido, durante três dias consecutivos, com intervalo de 24 horas
182 (Figura 1A).

183 2) **Mastite Moderada**: presença de sinais clínicos de dor, ou edema, ou
184 hiperemia, além da presença de grumos em concentração superior a uma cruz.
185 Estes animais foram tratados com sulfato de cefquinoma (88 mg) através de
186 infusão intramamária (Cobactan® VL, MSD Saúde Animal, São Paulo, Brasil),
187 com 3 aplicações com intervalo de 12 horas, associada ao sulfato de
188 cefquinoma injetável (1mg/kg PV) de ação sistêmica (Cobactan®, MSD Saúde
189 Animal, São Paulo, Brasil), com duas aplicações com intervalo de 24 horas
190 (Figura 1B).

191

192 **Tratamentos e grupos experimentais**

193 As vacas diagnosticadas com **mastite leve** foram divididas em dois
194 grupos: Grupo Controle (CON, n=9) que recebeu três aplicações i.v de placebo
195 (NaCl 0,9%; 0,1 mL/kg de PV), a cada cinco dias, a partir do $4,22 \pm 1,30$ dias
196 após a terapia antimicrobiana; Grupo Tratado (BFC, n=9) que recebeu três
197 aplicações i.v de 10mg de butafosfan+5µg de cianocobalamina/kg de PV

198 (Catosal® B₁₂, Bayer Health Care, São Paulo, Brasil) a cada cinco dias, a partir
199 do 4,22±1,48 dias após a terapia antimicrobiana.

200 Da mesma forma, as vacas diagnosticadas com **mastite moderada**
201 foram divididas em dois grupos: Grupo Controle (CON, n=6) que recebeu três
202 aplicações i.v de placebo (NaCl 0,9%; 0,1 mL/kg de PV), a cada cinco dias, a
203 partir do 6,29 ±7,61 dias após a terapia antimicrobiana; Grupo Tratado (BFC,
204 n=8) que recebeu três aplicações i.v de 10mg de butafosfan+5µg de
205 cianocobalamina/kg de PV (Catosal® B₁₂, Bayer Health Care, São Paulo,
206 Brasil), a cada cinco dias a partir do 7,43 ±6,9 dias após a terapia
207 antimicrobiana.

208 Os animais foram acompanhados com inspeção da glândula mamária,
209 além dos testes de diagnóstico de mastite clínica, a fim de monitorar os casos
210 de reinfecção.

211

212 **Coletas de sangue**

213 Amostras de sangue foram coletadas após cada ordenha, nos tempos -
214 12, 12 e 36 horas em relação à administração de BFC e placebo. Amostras de
215 sangue foram coletadas através da veia coccígea e divididas em dois tubos:
216 um contendo anticoagulante (EDTA 10%) e antiglicolítico (KF 12%) e outro sem
217 nenhuma solução. Imediatamente após a coleta, as amostras foram
218 centrifugadas a 1800 X g por 15 min e congeladas a -20 °C, ou resfriadas a 4°C
219 para posteriores análises bioquímicas.

220

221

222

223 **Análises Bioquímicas**

224 As análises de glicose, albumina, proteínas plasmáticas totais (PPT)
225 foram realizadas através de ensaios enzimáticos colorimétricos e quantificadas
226 por um espectrofotômetro (CELM SB 190®, Companhia Equipadora de
227 Laboratórios Modernos – CELM, Brasil). Os reagentes foram manipulados de
228 acordo com instruções do fabricante (Labtest® Diagnóstica S.A., Lagoa Santa,
229 Brasil). As análises de ácidos graxos não esterificados (AGNES) foram
230 realizadas através de um kit comercial (Wako NEFA-HR, Wako Chemicals
231 EUA®, Richmond, EUA), de acordo com técnica padronizada por Ballou et al.
232 (2009). Os coeficientes de variação foram inferiores a 10% para todos os
233 ensaios.

234

235 **Composição do leite**

236 As coletas de amostras de leite (amostragem da ordenha completa)
237 foram realizadas individualmente nos períodos -12, 0, 12, 24 e 36 horas em
238 relação a cada aplicação de BFC e placebo. As amostras foram
239 acondicionadas em frascos de polietileno, contendo conservante bronopol (2-
240 bromo-2-nitropropano-1,3-diol) em forma de pastilha e em seguida foram
241 analisadas através do sistema combinado Delta Instruments®. As análises de
242 proteína, caseínas totais, lactose, gordura, sólidos totais, ureia, crioscopia,
243 densidade e pH foram realizadas através do LactoScop FT 10 série FT426601
244 que faz a mensuração através da metodologia de infravermelho. A CCS foi
245 determinada através da metodologia de citometria de fluxo pelo SomatoScop
246 CA3A5 série SO421601.

247

248 **Análise estatística**

249 Os dados foram analisados tendo os animais como unidades
250 experimentais. Todas as variáveis foram submetidas ao teste de normalidade
251 pelo teste de Shapiro-Wilk ($P>0,90$), pelo procedimento de UNIVARIATE. A
252 comparação foi realizada através dos procedimentos MIXEDMODEL e a
253 aproximação para determinação dos graus de liberdade do denominador pelo
254 Satterthwaite para os testes de efeitos fixos. As análises metabólicas de
255 glicose, albumina, PPT e AGNES, além do peso corporal e os parâmetros do
256 leite (proteína, caseínas totais, lactose, gordura, sólidos totais, ureia,
257 crioscopia, densidade, pH e CCS) foram comparadas entre os tipos de mastite,
258 tratamentos, assim como o momento da coleta e interações entre eles (Littell *et*
259 *al.*, 1998), por meio de análise de variância com medidas repetidas. A estrutura
260 de covariância simétrica composta forneceu o melhor ajuste para as análises
261 de acordo com o critério de informação de Akaike. Além disso, o animal foi
262 considerado como efeito aleatório dentro dos tratamentos e as coletas como
263 medidas repetidas. Os resultados são apresentados como médias \pm erro padrão
264 da média (EPM). Todas as análises estatísticas foram realizadas utilizando o
265 software SAS (Littell *et al.*, 1998. SAS Institute Inc., Cary, NC, USA). As
266 diferenças foram consideradas significativas quando o $P\leq0,05$.

267

268

269 **RESULTADOS**

270

271 As análises comparativas entre as mastites, leve e moderada, não
272 demonstraram interação ($P>0,05$) entre si, assim como a interação delas com a

273 suplementação de BFC fornecida durante a recuperação da glândula mamária.
274 Portanto, os dados foram agrupados para que as análises comparativas entre
275 as médias fossem realizadas de acordo com a suplementação de BFC, sem
276 considerar o grau de mastite.

277 A CCS média (Figura 2) no grupo BFC (373.760 ± 180.610 células/mL)
278 foi menor ($P=0,02$) após a terceira aplicação de butafosfan+cianocobalamina,
279 quando comparado com o grupo CON ($1.112.630 \pm 405.810$ células/mL). O
280 peso corporal dos animais do grupo BFC ($648,82 \pm 16,62$ kg de PV) não diferiu
281 ($P>0,05$) do grupo CON ($621,17 \pm 16,62$ kg/PV), bem como não houve interação
282 entre tratamento e tempo ($P>0,05$). Todos os animais perderam peso ao longo
283 do tempo ($P<0,05$).

284 As concentrações de glicose, albumina, PPT e AGNES (Tabela 2) não
285 diferiram ($P>0,05$) entre os tratamentos e suas interações ($P>0,05$), embora
286 tenha havido variação ($P<0,05$) ao longo do tempo. O mesmo ocorreu com os
287 resultados dos parâmetros químicos do leite (proteína, lactose, gordura,
288 caseínas totais, ureia, sólidos totais e pH) e as características físicas como
289 densidade e crioscopia, que não diferiram ($P>0,05$) entre os grupos e nem as
290 interações entre o grupo e o tempo.

291

292 **DISCUSSÃO**

293

294 **Terapias antimicrobianas**

295 Os tratamentos para as mastites leve e moderada foram eficazes na
296 cura dos animais, uma vez que não houve recidiva da doença. Estes resultados
297 são similares aos de outros estudos (Ehinger *et al.*, 2006, Schukken *et al.*,

298 2011) e podem ser atribuídos à biodisponibilidade do fármaco, a sensibilidade
299 dos agentes infectantes, via de aplicação (Zonca *et al.*, 2011) e ao status
300 imunológico dos animais (Bradley and Green, 2009).

301

302 **Suplementação com a associação de butafosfan e cianocobalamina**

303 Os animais do grupo BFC apresentaram menor CCS no leite, sendo esta
304 o equivalente a 33,59% da CCS encontrada no grupo CON, após a terceira
305 aplicação (Figura 2), o que indica uma maior capacidade de recuperação
306 funcional do tecido mamário desses animais. Além disso, também ocorreu
307 diminuição da CCS ao longo do tempo ($P<0,01$) em ambos os grupos. Esta
308 resposta mais acentuada no grupo BTF, pode ter ocorrido devido à
309 disponibilidade do fósforo, contida na molécula de butafosfan (EMEA, 2000),
310 servindo de substrato para a tirosina quinase, responsável por fosforilar as
311 proteínas do citoesqueleto dos neutrófilos, permitindo a emissão de
312 pseudopodes, necessários para a fagocitose (Berkow and Dodson, 1990,
313 Meconi *et al.*, 2001, Mehrzad *et al.*, 2004), a proliferação, a diferenciação
314 (Monfardini *et al.*, 2002) e o prolongamento da vida (Sweeney *et al.*, 1998).
315 Além disso, o fósforo suplementar recebido pelo grupo BFC, pode ter auxiliado
316 na fosforilação do inibidor kappa-B (IkB), possibilitando a translocação do fator
317 de transcrição nuclear kappa-B (NF-KB) para dentro do núcleo, incrementando
318 a síntese de citocinas, que por sua vez atraem mais leucócitos para o local da
319 inflamação (Boulanger *et al.*, 2003, Paape *et al.*, 2003), diminuindo assim a
320 carga de microrganismos na glândula mamária e, consequentemente a CCS do
321 leite (Figura 2).

322 Como estas reações demandam grande consumo de energia, a
323 cianocobalamina, como co-fator enzimático, pode ter contribuído para o
324 aumento da atividade neoglicogênica, assim como foi observado em um estudo
325 sobre o tecido hepático (Kreipe *et al.*, 2011), embora as concentrações de
326 glicose não tenham diferido entre os tratamentos no presente estudo. A glicose
327 é fundamental para o sistema imunológico celular, por ser utilizada nas rotas de
328 proliferação, sobrevivência e diferenciação das células fagocitárias (Pithon-Curi
329 *et al.*, 2004, Moyes *et al.*, 2009), com isso, permitindo que os leucócitos sejam
330 mais eficientes no processo de recuperação funcional da glândula mamária.

331 De mesma forma, os AGNEs que são indicadores de equilíbrio
332 energético do organismo, não diferiram entre os grupos. Os AGNEs já
333 apresentaram efeito na diminuição da capacidade fagocitária *in vitro*, mas em
334 concentrações três vezes maiores (Bertoni *et al.*, 2008, Sander *et al.*, 2011) em
335 relação as utilizadas no presente estudo. Ainda, altos níveis de AGNES têm
336 sido associados ao maior risco de mastite clínica, em especial no periparto
337 (Melendez *et al.*, 2009), mas não no processo de recuperação da glândula
338 mamária.

339 As concentrações plasmáticas de albumina não diferiram entre os
340 grupos. Esta proteína é considerada preditora da resposta inflamatória de fase
341 aguda (Bertoni *et al.*, 2008), variando suas concentrações somente nos
342 primeiros momentos do processo (Moyes *et al.*, 2009), logo suas
343 concentrações deveriam ser mantidas durante o período de recuperação da
344 glândula mamária. Da mesma forma, as PPTs não sofreram alteração com a
345 suplementação, apesar de outros estudos mostrarem diminuição nas
346 concentrações plasmáticas em vacas com mastite clínica, mas em comparação

347 a vacas saudáveis, tendo ainda como consequência alterações nos
348 componentes químicos do leite (Parra *et al.*, 2009).

349 As concentrações de lactose, gordura, proteína, caseínas totais, ureia e
350 sólidos totais do leite, também não sofreram alteração durante o período de
351 recuperação da glândula mamária, corroborando com os resultados de Furll et
352 al., (2010), que também não encontraram alterações na composição química
353 do leite após três aplicações de BFC. Nossos resultados podem estar
354 associados ao mecanismo de controle de síntese dos constituintes do leite,
355 visto que estes dispõem de uma complexa rede de genes e mediadores
356 protéicos(Bionaz and Loor, 2011). Entretanto, um aumento nas concentrações
357 protéicas foi conseguido em outros estudos, mas com maior número de
358 aplicações da associação (Furll *et al.*, 2010, Pereira *et al.*, 2013a).

359 Equivalentemente, os resultados de crioscopia, densidade e pH do leite
360 também não diferiram entre os grupos, o que pode ser atribuído ao fato de que
361 as proteínas, mas principalmente a lactose, são higroscópicas (Boutinaud *et al.*,
362 2008), impedindo a variação nas características físicas do leite, as quais são
363 verificadas somente quando comparados vacas saudáveis com vacas com
364 mastite devido ao aumento de permeabilidade causado pela inflamação da
365 glândula mamária (Bruckmaier *et al.*, 2004, Ogola *et al.*, 2007).

366 Nossos resultados mostram que o butafosfan e a cianocobalamina
367 podem ter agido diretamente na glândula mamária, pois os marcadores
368 metabólicos que representam o status sistêmico permaneceram dentro dos
369 padrões fisiológicos, demonstrando que o butafosfan e a cinaocobalamina
370 podem ter atuado nas rotas metabólicas que estavam em maior atividade no
371 momento, ou seja, as da glândula mamária.

372

373 **CONCLUSÃO**

374 A suplementação com butafosfan e cianocobalamina após a terapia da
375 mastite clínica de vacas leiteiras reduz a contagem de células somáticas,
376 contribuindo para recuperação da glândula mamária.

377

378 **REFERENCIAS**

379

380 Berkow, R.; Dodson, R., 1990: Tyrosine-specific protein phosphorylation during
381 activation of human neutrophil. Journal of The American Society of
382 hematology 75, 2445-2452.

383 Bertoni, G.; Trevisi, E.; Han, X.; Bionaz, M., 2008: Effects of inflammatory
384 conditions on liver activity in puerperium period and consequences for
385 performance in dairy cows. J Dairy Sci 91, 3300-3310.

386 Bionaz, M.; Loor, J.J., 2011: Gene networks driving bovine mammary protein
387 synthesis during the lactation cycle. Bioinform Biol Insights 5, 83-98.

388 Boulanger, D.; Bureau, F.; Mélotte, D.; Mainil, J.; Lekeux, P., 2003: Increased
389 Nuclear Factor kb Activity in Milk Cells of Mastitis-Affected Cows. Journal of
390 Dairy Science 86, 1259-1267.

391 Boutet, P.; Boulanger, D.; Gillet, L.; Vanderpasschen, A.; Closset, R.; Bureau,
392 F.; Lekeux, P., 2004: Delayed neutrophil apoptosis in bovine subclinical
393 mastitis. J Dairy Sci 87, 4104-4114.

394 Boutinaud, M.; Ben Chedly, M.H.; Delamaire, E.; Guinard-Flament, J., 2008:
395 Milking and feed restriction regulate transcripts of mammary epithelial cells
396 purified from milk. J Dairy Sci 91, 988-998.

397 Bradley, A.J.; Green, M.J., 2009: Factors affecting cure when treating bovine
398 clinical mastitis with cephalosporin-based intramammary preparations. J
399 Dairy Sci 92, 1941-1953.

400 Bruckmaier, R.M.; Ontsouka, C.E.; Blum, J.W., 2004: Fractionized milk
401 composition in dairy cows with subclinical mastitis. International Journal for
402 veterinary and biomedical Science 49, 283-290.

- 403 Ehinger, A.M.; Schmidt, H.; Kietzmann, M., 2006: Tissue distribution of
404 cefquinome after intramammary and "systemic" administration in the
405 isolated perfused bovine udder. Vet J 172, 147-153.
- 406 EMEA, 2000: Insulin resistance in adipose tissue: direct and indirect
407 (Butafosfan - Extension to lactating cows). The european agency for the
408 evaluation of medicinal Products Veterinary Medicines and Information
409 technology unit.
- 410 Furll, M.; Deniz, A.; Westphal, B.; Illing, C.; Constable, P.D., 2010: Effect of
411 multiple intravenous injections of butaphosphan and cyanocobalamin on the
412 metabolism of periparturient dairy cows. J Dairy Sci 93, 4155-4164.
- 413 Kehrli, M.E., Jr.; Shuster, D.E., 1994: Factors affecting milk somatic cells and
414 their role in health of the bovine mammary gland. J Dairy Sci 77, 619-627.
- 415 Kleen, J.L.; Barrett, D.C.; Courcier, E.; Biggs, A.M., 2009: COMPARISON OF
416 TWO TREATMENTS FOR CLINICAL MASTITIS USING CEFQUINOME
417 (COBACTAN®). British Mastitis Conference.
- 418 Kreipe, L.; Deniz, A.; Bruckmaier, R.M.; van Dorland, H.A., 2011: First report
419 about the mode of action of combined butafosfan and cyanocobalamin on
420 hepatic metabolism in nonketotic early lactating cows. J Dairy Sci 94, 4904-
421 4914.
- 422 Littell, R.C.; Henry, P.R.; Ammerman, C.B., 1998: Statistical analysis of
423 repeated measures data using SAS procedures. Journal of Animal Science
424 76, 1216-1231.
- 425 Meconi, S.; Capo, C.; Remacle-Bonnet, M.; Pommier, G.; Raoult, D.; Mege,
426 J.L., 2001: Activation of protein tyrosine kinases by *Coxiella burnetii*: role in

- 427 actin cytoskeleton reorganization and bacterial phagocytosis. *Infect Immun*
428 69, 2520-2526.
- 429 Mehrzad, J.; Duchateau, L.; Burvenich, C., 2004: Viability of milk neutrophils
430 and severity of bovine coliform mastitis. *J Dairy Sci* 87, 4150-4162.
- 431 Melendez, P.; Marin, M.P.; Robles, J.; Rios, C.; Duchens, M.; Archbald, L.,
432 2009: Relationship between serum nonesterified fatty acids at calving and
433 the incidence of periparturient diseases in Holstein dairy cows.
434 *Theriogenology* 72, 826-833.
- 435 Monfardini, E.; Paape, M.J.; Wang, Y.; Capuco, A.V.; Husheem, M.; Wood, L.;
436 Burvenich, C., 2002: Evaluation of L-selectin expression and assessment of
437 protein tyrosine phosphorylation in bovine polymorphonuclear neutrophil
438 leukocytes around parturition. *Vet Res* 33, 271-281.
- 439 Moyes, K.M.; Larsen, T.; Friggins, N.C.; Drackley, J.K.; Ingvartsen, K.L., 2009:
440 Identification of potential markers in blood for the development of subclinical
441 and clinical mastitis in dairy cattle at parturition and during early lactation. *J*
442 *Dairy Sci* 92, 5419-5428.
- 443 Ogola, H.; Shitandi, A.; Nanua, J., 2007: Effect of mastitis on raw milk
444 compositional quality. *Journal of Veterinary Science* 8, 237-242.
- 445 Oviedo-Boyso, J.; Valdez-Alarcon, J.J.; Cajero-Juarez, M.; Ochoa-Zarzosa, A.;
446 Lopez-Meza, J.E.; Bravo-Patino, A.; Baizabal-Aguirre, V.M., 2007: Innate
447 immune response of bovine mammary gland to pathogenic bacteria
448 responsible for mastitis. *J Infect* 54, 399-409.
- 449 Paape, M.J.; Bannerman, D.D.; Zhao, X.; Lee, J.W., 2003: The bovine
450 neutrophil: Structure and function in blood and milk. *Vet Res* 34, 597-627.

- 451 Parra, A.J.A.; Ortega, A.A.L.; Mendoza, C.A.; Delgado, N., 2009: Efecto de la
452 mastitis clínica y subclínica sobre la concentración plasmática de
453 metabolitos, proteínas totales y albúmina en hembras bovinas. Zootecnia
454 Tropical 27.
- 455 Pereira, R.A.; Silveira, P.A.; Montagner, P.; Schneider, A.; Schmitt, E.;
456 Rabassa, V.R.; Pfeifer, L.F.; Del Pino, F.A.; Pulga, M.E.; Correa, M.N.,
457 2013: Effect of butaphosphan and cyanocobalamin on postpartum
458 metabolism and milk production in dairy cows. Animal, 1-5.
- 459 Pithon-Curi, T.C.; De Melo, M.P.; Curi, R., 2004: Glucose and glutamine
460 utilization by rat lymphocytes, monocytes and neutrophils in culture: a
461 comparative study. Cell Biochem Funct 22, 321-326.
- 462 Rollin, E.; Berghaus, R.D.; Rapnicki, P.; Godden, S.M.; Overton, M.W., 2010:
463 The effect of injectable butaphosphan and cyanocobalamin on postpartum
464 serum beta-hydroxybutyrate, calcium, and phosphorus concentrations in
465 dairy cattle. J Dairy Sci 93, 978-987.
- 466 Sander, A.K.; Piechotta, M.; Schlamberger, G.; Bollwein, H.; Kaske, M.; Sipka,
467 A.; Schuberth, H.J., 2011: Ex vivo phagocytic overall performance of
468 neutrophilic granulocytes and the relation to plasma insulin-like growth
469 factor-I concentrations in dairy cows during the transition period. Journal of
470 Dairy Science 94, 1762-1771.
- 471 Schukken, Y.H.; Bennett, G.J.; Zurkowski, M.J.; Sharkey, H.L.; Rauch, B.J.;
472 Thomas, M.J.; Ceglowski, B.; Saltman, R.L.; Belomestnykh, N.; Zadoks,
473 R.N., 2011: Randomized clinical trial to evaluate the efficacy of a 5-day
474 ceftiofur hydrochloride intramammary treatment on nonsevere gram-
475 negative clinical mastitis. J Dairy Sci 94, 6203-6215.

- 476 SHARIF, A.; MUHAMMAD, G., 2008: SOMATIC CELL COUNT AS AN
477 INDICATOR OF UDDER HEALTH STATUS UNDER MODERN DAIRY
478 PRODUCTION: A REVIEW. Pakistan Vet. J., 28.
- 479 Sharma, N.; Singh, N.K.; Bhadwal, M.S., 2011: Relationship of Somatic Cell
480 Count and Mastitis: An Overview. Asian-Aust. J. Anim. Sci. 24, 429-438.
- 481 Shim, E.H.; Shanks, R.D.; Morin, D.E., 2004: Milk Loss and Treatment Costs
482 Associated with Two Treatment Protocols for Clinical Mastitis in Dairy
483 Cows. Journal of dairy science 87, 2702-2708.
- 484 Sweeney, J.F.; Nguyen, P.K.; Omann, G.M.; Hinshaw, D.B., 1998:
485 Lipopolysaccharide Protects Polymorphonuclear Leukocytes from
486 Apoptosis via Tyrosine Phosphorylation-Dependent Signal Transduction
487 Pathways. Journal of Surgical Research 74, 64-70.
- 488 Trevisi E, Zecconi A, Cogrossi S, Razzuoli E, Grossi P and Amadori M 2014.
489 Strategies for reduced antibiotic usage in dairy cattle farms. Res Vet Sci 96,
490 229-233.
- 491 Zonca, A.; Gallo, M.; Locatelli, C.; Carli, S.; Moroni, P.; Villa, R.; Cagnardi, P.,
492 2011: Cefquinome sulfate behavior after intramammary administration in
493 healthy and infected cows. J Dairy Sci 94, 3455-3461.
- 494
- 495

496 **Tabela 1.** Ingredientes e composição nutricional da dieta fornecida às vacas
 497 após cada ordenha.

| Alimentos | Kg |
|--|-------------------|
| Azevém | <i>Ad libitum</i> |
| Pré-secado | 15,000 |
| Farelo de trigo | 1,500 |
| Farelo de soja | 2,400 |
| Farelo de arroz | 2,880 |
| Milho moído | 3,000 |
| Suplemento Mineral | 0,110 |
| Sal | 0,002 |
| <hr/> | |
| Composição Química da dieta fornecida no cocho | |
| Matéria Seca (%) | 41,4 |
| FDN (%) | 40,40 |
| FDA (%) | 24,6 |
| Proteína (%) | 10,6 |
| Extrato Etéreo (%) | 10,6 |
| Minerais totais (%) | 7,83 |

498 **FDN** = Fibra Detergente Neutro; **FDA** = Fibra Detergente Ácida.

499 **Tabela 2:** Concentração plasmática de glicose (mg/dL), albumina (g/L), PPT
 500 (mg/dL) e AGNES (mmol/L) de vacas suplementadas com placebo (Grupo
 501 CON, n=15) ou com 10mg de butafosfan+5 μ g de cianocobalamina/kg de PV
 502 (Grupo BFC, n=17).

| Parâmetros ¹ | Tratamentos ² | | Medidas repetidas (Valor de P) | | |
|--------------------------|--------------------------|-------------|--------------------------------|-------|------------------------|
| | CON | BFC | Tratamento | Tempo | Trat*Temp ³ |
| Glicose (mg/dL) | 47,52 ±0,97 | 48,57 ±0,87 | 0,42 | <0,01 | 0,72 |
| Albumina (g/L) | 2,82 ±0,06 | 2,82 ±0,06 | 0,90 | 0,21 | 0,97 |
| PPT ¹ (mg/dL) | 8,38 ±0,19 | 8,40 ±0,18 | 0,96 | 0,05 | 0,38 |
| AGNES (mmol/L) | 0,322 ±0,01 | 0,326 ±0,01 | 0,94 | 0,04 | 0,92 |

503 **PPT** = Proteínas Plasmáticas Totais;

504 **AGNES** = Ácido Graxo Não Esterificado;

505 ¹Concentrações plasmática de glicose, albumina, PPT e AGNES durante o
 506 período de recuperação da glândula mamária.

507 ²O tratamento era composto por três aplicações a cada cinco dias, após a
 508 terapia antimicrobiana, nos grupos CON e BFC respectivamente. **CON**=
 509 Placebo (NaCl 0,9%; 0,1 mL/kg de PV); **BFC**= Grupo Tratado (10mg
 510 butafosfan+5 μ g cianocobalamina/kg de PV em cada aplicação, Catosal® B12®);

511 ³Análises de medidas repetidas e interação entre tratamento e tempo; Letras
 512 distintas na mesma linha indicam diferença entre os tratamentos (P<0,05).

513

514

515 **Tabela 3:** Média da concentração (%) de lactose, proteína, caseínas totais,
 516 ureia, sólidos totais e pH de vacas suplementadas com placebo (Grupo CON,
 517 n=15) ou com 10mg de butafosfan + 5 μ g de cianocobalamina/kg de PV (Grupo
 518 BFC, n=17)

| Parâmetros ¹ | Tratamentos ² | | Medidas repetidas (valor de P) | | |
|-------------------------|--------------------------|-------------|--------------------------------|-------|-----------------------|
| | CON | BFC | Tratamento | Tempo | Trat*Tem ³ |
| Lactose | 3,96±0,100 | 3,89±0,097 | 0,64 | 0,34 | 0,84 |
| Proteína | 3,26±0,099 | 3,27±0,098 | 0,94 | <0,01 | 0,48 |
| Gordura | 3,28±0,16 | 2,98±0,16 | 0,32 | 0,02 | 0,23 |
| CT | 2,47±0,08 | 2,48±0,07 | 0,92 | <0,01 | 0,39 |
| Ureia | 16,80±0,81 | 16,59±0,079 | 0,86 | <0,01 | 0,83 |
| ST | 11,57±0,024 | 11,34±0,24 | 0,51 | 0,04 | 0,23 |
| pH | 6,50±0,021 | 6,50 ±0,021 | 0,88 | <0,01 | 0,38 |

519 **CT** = Caseínas Totais; **ST** = Sólidos Totais;

520 ¹Concentrações (%) de lactose, proteína, caseínas totais, ureia, sólidos totais e
 521 pH durante o período de recuperação da glândula mamária.

522 ²O tratamento era composto por três aplicações a cada cinco dias, após a
 523 terapia antimicrobiana, nos grupos CON e BFC respectivamente. .

524 **CON**= Placebo (NaCl 0,9%; 0,1 mL/kg de PV); **BFC**= Grupo Tratado (10mg
 525 butafosfan + 5 μ g cianocobalamina/kg de PV em cada aplicação, Catosal®
 526 B12[®]);

- 527 ³Análises de medidas repetidas e interação entre tratamento e tempo; Letras
528 distintas na mesma linha indicam diferença entre os tratamentos ($P<0,05$).
529

530 **Tabela 4:** Parâmetros físicos do leite de crioscopia (°C) e densidade (g/mL) de
 531 vacas suplementadas com placebo (Grupo CON, n=15) ou com 10mg de
 532 butafosfan+5µg de cianocobalamina/kg de PV (Grupo BFC, n=17).

| Parâmetros ¹ | Tratamentos ² | | Medidas repetidas (valor P) | | |
|-------------------------|--------------------------|--------------|-----------------------------|-------|------------------------|
| | CON | BFC | Tratamento | Tempo | Trat*Temp ³ |
| Crioscopia (°C) | -0,4753 ±0,01 | -0,4799±0,01 | 0,54 | 0,15 | 0,92 |
| Densidade (g/mL) | 1028,61±0,44 | 1028,20±0,45 | 0,52 | 0,45 | 0,98 |

533 ¹Parâmetros de crioscopia (°C) e densidade (g/mL)durante o período de
 534 recuperação da glândula mamária.

535 ²O tratamento era composto por três aplicações a cada cinco dias, após a
 536 terapia antimicrobiana, nos grupos CON e BFC respectivamente. .

537 **CON**= Placebo (NaCl 0,9%; 0,1 mL/kg de PV); **BFC**= Grupo Tratado (10mg
 538 butafosfan + 5µg cianocobalamina/kg de PV em cada aplicação, Catosal®
 539 B12®);

540 ³Análises de medidas repetidas e interação entre tratamento e tempo; Letras
 541 distintas na mesma linha indicam diferença entre os tratamentos (P<0,05).

542

543

544

545

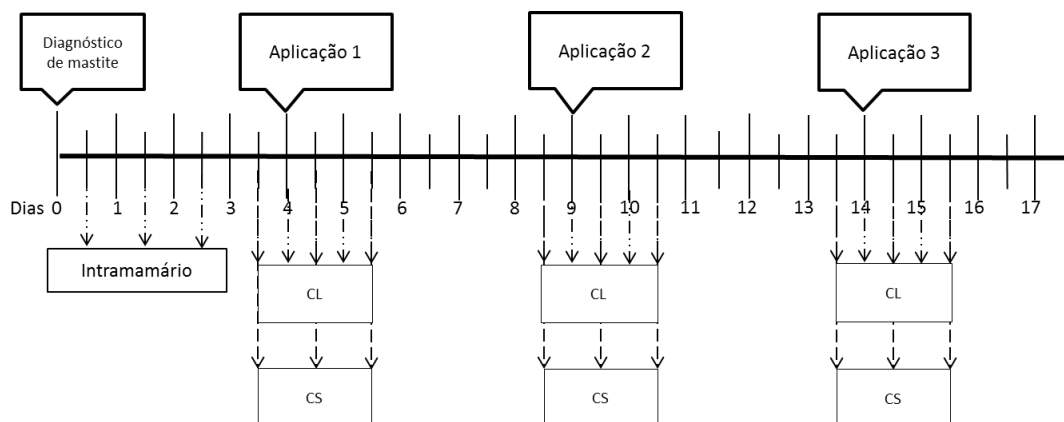
546

547

548

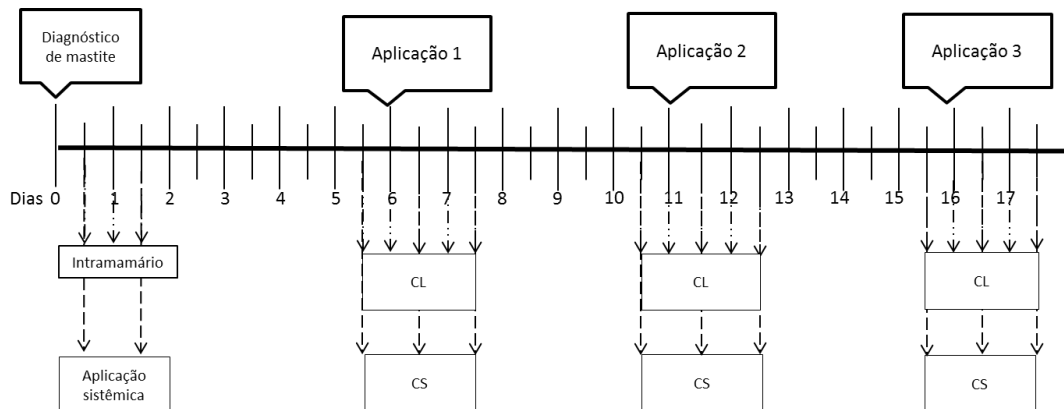
549

550 A



551

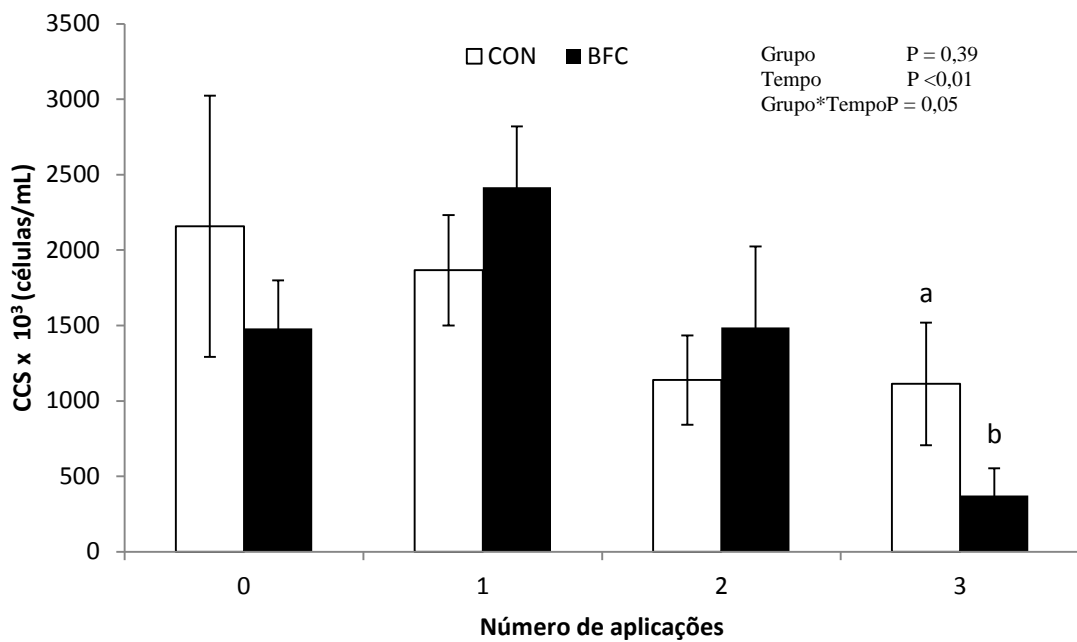
552 B



553

554 **Figura 1:** CL = Coleta de Leite. CS = Coleta de Sangue. A) Protocolo de
 555 terapia antimicrobiana das vacas diagnosticadas com mastite leve, manejo
 556 experimental e suplementação dos grupos Grupo CON e Grupo BFC. B)
 557 Protocolo de terapia antimicrobiana das vacas

558



559

560 **Figura 2:** Contagem (Células/mL) de CCS (contagem de células somáticas) de
 561 vacas suplementadas com placebo (Grupo CON, n=15) ou com 10mg de
 562 butafosfan + 5 μ g de cianocobalamina/kg de PV (Grupo BFC, n=17)

563

564

565

566

567

568

569

570

4. Conclusão Geral

Nossos resultados demonstram que a suplementação de butafosfan e cianocobalamina:

- Aumenta os níveis glicêmicos de vacas leiteiras saudáveis suplementadas após o parto e pode intensificar o catabolismo protéico.
- Diminui a contagem de células somáticas em vacas leiteiras após o tratamento da mastite clínica, contribuído para recuperação da glândula mamária.
- Como fontes de fósforo orgânico e vitamina B₁₂, o butafosfan e a cianocobalamina contribuem para as reações metabólicas celulares, principalmente como substrato das reações de fosforilação.

5. Referências

- Abe H, Morimatsu M, Nikami H, Miyashige T and Saito M 1997. Molecular cloning and mRNA expression of the bovine insulin-responsive glucose transporter (GLUT4). *Journal of Animal Science* 75, 182-188.
- Alberghina D, Giannetto C, Vazzana I, Ferrantelli V and Piccione G 2011. Reference intervals for total protein concentration, serum protein fractions, and albumin/globulin ratios in clinically healthy dairy cows. *Journal of Veterinary Diagnostic Investigation* 23, 111-114.
- Ballou MA, Gomes RC, Juchem SO and DePeters EJ 2009. Effects of dietary supplemental fish oil during the peripartum period on blood metabolites and hepatic fatty acid compositions and total triacylglycerol concentrations of multiparous Holstein cows. *Journal of Dairy Science* 92, 657-669.
- Balogh O, Kovacs K, Kulcsar M, Gaspardy A, Zsolnai A, Katai L, Pecsi A, Fesus L, Butler WR and Huszenicza G 2009. AluL polymorphism of the bovine growth hormone (GH) gene, resumption of ovarian cyclicity, milk production and loss of body condition at the onset of lactation in dairy cows. *Theriogenology* 71, 553-559.
- Bell AW 1995. Regulation of organic nutrient metabolism during transition from late pregnancy to early lactation. *Journal of Animal Science* 73, 2804-2819.
- Bell AW and Bauman DE 1997. Adaptations of Glucose Metabolism During Pregnancy and Lactation. *Journal of Mammary Gland Biology and Neoplasia* 2, 265-278.
- Berkow, R.; Dodson, R., 1990: Tyrosine-specific protein phosphorylation during activation of human neutrophil. *Journal of The American Society of hematology* 75, 2445-2452.
- Bertoni, G.; Trevisi, E.; Han, X.; Bionaz, M., 2008: Effects of inflammatory conditions on liver activity in puerperium period and consequences for performance in dairy cows. *J Dairy Sci* 91, 3300-3310.
- Bionaz, M.; Loor, J.J., 2011: Gene networks driving bovine mammary protein synthesis during the lactation cycle. *BioInform Biol Insights* 5, 83-98.
- Boulanger, D.; Bureau, F.; Mélotte, D.; Mainil, J.; Lekeux, P., 2003: Increased Nuclear Factor kb Activity in Milk Cells of Mastitis-Affected Cows. *Journal of Dairy Science* 86, 1259-1267.
- Boutet, P.; Boulanger, D.; Gillet, L.; Vanderplasschen, A.; Closset, R.; Bureau, F.; Lekeux, P., 2004: Delayed neutrophil apoptosis in bovine subclinical mastitis. *J Dairy Sci* 87, 4104-4114.
- Boutinaud, M.; Ben Chedly, M.H.; Delamaire, E.; Guinard-Flament, J., 2008: Milking and feed restriction regulate transcripts of mammary epithelial cells purified from milk. *J Dairy Sci* 91, 988-998.

Bradley, A.J.; Green, M.J., 2009: Factors affecting cure when treating bovine clinical mastitis with cephalosporin-based intramammary preparations. *J Dairy Sci* **92**, 1941-1953.

Bruckmaier, R.M.; Ontsouka, C.E.; Blum, J.W., 2004: Fractionized milk composition in dairy cows with subclinical mastitis. *International Journal for Veterinary and biomedical Science* **49**, 283-290.

Butler WR 2010. Fertility of lactating cows in relation the physiology of the transition period. Large Animal Review 16, 305-308.

Castaneda-Gutierrez E, Pelton SH, Gilbert RO and Butler WR 2009. Effect of peripartum dietary energy supplementation of dairy cows on metabolites, liver function and reproductive variables. *Anim Reprod Sci* **112**, 301-315.

Chagas LM, Lucy MC, Back PJ, Blache D, Lee JM, Gore PJ, Sheahan AJ and Roche JR 2009. Insulin resistance in divergent strains of Holstein-Friesian dairy cows offered fresh pasture and increasing amounts of concentrate in early lactation. *J Dairy Sci* **92**, 216-222.

De Koster JD and Opsomer G 2013. Insulin resistance in dairy cows. *Vet Clin North Am Food Anim Pract* **29**, 299-322.

Duehlmeier R, Noldt S and Ganter M 2013. Pancreatic insulin release and peripheral insulin sensitivity in German black headed mutton and Finish Landrace ewes: evaluation of the role of insulin resistance in the susceptibility to ovine pregnancy toxemia. *Domest Anim Endocrinol* **44**, 213-221.

Ehinger, A.M.; Schmidt, H.; Kietzmann, M., 2006: Tissue distribution of cefquinome after intramammary and "systemic" administration in the isolated perfused bovine udder. *Vet J* **172**, 147-153.

El Faro L and Albuquerque LG 2003. Estimação de Parâmetros Genéticos para Produção de Leite no Dia do Controle e Produção Acumulada até 305 dias, para as Primeiras Lactações de Vacas da Raça Caracu. *R. Bras. Zootec* **32**, 284-294.

EMEA, 2000: Insulin resistance in adipose tissue: direct and indirect (Butafosfan - Extension to lactating cows). *The european agency for the evaluation of medicinal Products Veterinary Medicines and Information technology unit*.

Furll, M.; Deniz, A.; Westphal, B.; Illing, C.; Constable, P.D., 2010: Effect of multiple intravenous injections of butaphosphan and cyanocobalamin on the metabolism of periparturient dairy cows. *J Dairy Sci* **93**, 4155-4164.

Grunberg W, Staufenbiel R, Constable PD, Dann HM, Morin DE and Drackley JK 2009. Liver phosphorus content in Holstein-Friesian cows during the transition period. *J Dairy Sci* **92**, 2106-2117.

Gutierrez CG, Gong JG, Bramley TA and Webb R 2006. Selection on predicted breeding value for milk production delays ovulation independently of changes in

follicular development, milk production and body weight. Animal Reproduction Science 95, 193-205.

Hammon DS, Evjen IM, Dhiman TR, Goff JP and Walters JL 2006. Neutrophil function and energy status in Holstein cows with uterine health disorders. Vet Immunol Immunopathol 113, 21-29.

Heuer C, Van Straalen WM, Schukken YH, Dirkzwager A and Noordhuizen JPTM 2000. Prediction of energy balance in a high yielding dairy herd in early lactation: model development and precision. Livestock Production Science 65, 91-105.

Kehrli, M.E., Jr.; Shuster, D.E., 1994: Factors affecting milk somatic cells and their role in health of the bovine mammary gland. *J Dairy Sci* 77, 619-627.

Kerestes M, Faigl V, Kulcsar A, Balogh O, Foldi J, Febel H, Chilliard Y and Huszenicza G 2009. Periparturient insulin secretion and whole-body insulin responsiveness in dairy cows showing various forms of ketone pattern with or without puerperal metritis. Domestic Animal Endocrinology 37, 250-261.

Kleen, J.L.; Barrett, D.C.; Courcier, E.; Biggs, A.M., 2009: COMPARISON OF TWO TREATMENTS FOR CLINICAL MASTITIS USING CEFQUINOME (COBACTAN®). British Mastitis Conference.

Kreipe, L.; Deniz, A.; Bruckmaier, R.M.; van Dorland, H.A., 2011: First report about the mode of action of combined butafosfan and cyanocobalamin on hepatic metabolism in nonketotic early lactating cows. *Journal of dairy science* 94, 4904-4914.

Kronfeld DS 1982. Major metabolic determinants of milk volume, mammary efficiency, and spontaneous ketosis in dairy cows. *J Dairy Sci* 65, 2204-2212.

Littell, R.C.; Henry, P.R.; Ammerman, C.B., 1998: Statistical analysis of repeated measures data using SAS procedures. *Journal of Animal Science* 76, 1216-1231.

Loker S, Bastin C, Miglior F, Sewalem A, Schaeffer LR, Jamrozik J, Osborne V and Ali A 2013. Development of a genetic evaluation for body condition score for Canadian Holsteins. *Journal of Dairy Science* 96, 3994-4004.

Lorenzo M, Fernandez-Veledo S, Vila-Bedmar R, Garcia-Guerra L, De Alvaro C and Nieto-Vazquez I 2008. Insulin resistance induced by tumor necrosis factor-alpha in myocytes and brown adipocytes. *Journal of Animal Science* 86, E94-104.

Mattmiller SA, Corl CM, Gandy JC, Loor JJ and Sordillo LM 2011. Glucose transporter and hypoxia-associated gene expression in the mammary gland of transition dairy cattle. *J Dairy Sci* 94, 2912-2922.

Meconi, S.; Capo, C.; Remacle-Bonnet, M.; Pommier, G.; Raoult, D.; Mege, J.L., 2001: Activation of protein tyrosine kinases by *Coxiella burnetii*: role in

actin cytoskeleton reorganization and bacterial phagocytosis. *Infect Immun***69**, 2520-2526.

Mehrzed, J.; Duchateau, L.; Burvenich, C., 2004: Viability of milk neutrophils and severity of bovine coliform mastitis. *J Dairy Sci***87**, 4150-4162.

Melendez, P.; Marin, M.P.; Robles, J.; Rios, C.; Duchens, M.; Archbald, L., 2009: Relationship between serum nonesterified fatty acids at calving and the incidence of periparturient diseases in Holstein dairy cows. *Theriogenology***72**, 826-833.

Monfardini, E.; Paape, M.J.; Wang, Y.; Capuco, A.V.; Husheem, M.; Wood, L.; Burvenich, C., 2002: Evaluation of L-selectin expression and assessment of protein tyrosine phosphorylation in bovine polymorphonuclear neutrophil leukocytes around parturition. *Vet Res***33**, 271-281.

Moyes, K.M.; Larsen, T.; Friggins, N.C.; Drackley, J.K.; Ingvarstsen, K.L., 2009: Identification of potential markers in blood for the development of subclinical and clinical mastitis in dairy cattle at parturition and during early lactation. *J Dairy Sci***92**, 5419-5428.

Ning J, Hong T, Yang X, Mei S, Liu Z, Liu HY and Cao W 2011. Insulin and insulin signaling play a critical role in fat induction of insulin resistance in mouse. *Am J Physiol Endocrinol Metab* 301, E391-401.

Ogola, H.; Shitandi, A.; Nanua, J., 2007: Effect of mastitis on raw milk compositional quality. *Journal of Veterinary Science***8**, 237-242.

Oviedo-Boys, J.; Valdez-Alarcon, J.J.; Cajero-Juarez, M.; Ochoa-Zarzosa, A.; Lopez-Meza, J.E.; Bravo-Patino, A.; Baizabal-Aguirre, V.M., 2007: Innate immune response of bovine mammary gland to pathogenic bacteria responsible for mastitis. *J Infect***54**, 399-409.

Paape, M.J.; Bannerman, D.D.; Zhao, X.; Lee, J.W., 2003: The bovine neutrophil: Structure and function in blood and milk. *Vet Res***34**, 597-627.

Parra, A.J.A.; Ortega, A.A.L.; Mendoza, C.A.; Delgado, N., 2009: Efecto de la mastitis clínica y subclínica sobre la concentración plasmática de metabolitos, proteínas totales y albúmina en hembras bovinas. *Zootecnia Tropical***27**.

Patton J, Kenny DA, McNamara S, Mee JF, O'Mara FP, Diskin MG and Murphy JJ 2007. Relationships among milk production, energy balance, plasma analytes, and reproduction in Holstein-Friesian cows. *J Dairy Sci* 90, 649-658.

Pereira, R.A.; Silveira, P.A.; Montagner, P.; Schneider, A.; Schmitt, E.; Rabassa, V.R.; Pfeifer, L.F.; Del Pino, F.A.; Pulga, M.E.; Correa, M.N., 2013: Effect of butaphosphan and cyanocobalamin on postpartum metabolism and milk production in dairy cows. *Animal*, 1-5.

Pires JAA, Delavaud C, Faulconnier Y, Pomiès D and Chilliard Y 2013. Effects of body condition score at calving on indicators of fat and protein mobilization of periparturient Holstein-Friesian cows. *Journal of dairy science* 96, 6423-6439.

- Pithon-Curi, T.C.; De Melo, M.P.; Curi, R., 2004: Glucose and glutamine utilization by rat lymphocytes, monocytes and neutrophils in culture: a comparative study. *Cell Biochem Func***22**, 321-326.
- Raggio G, Lobley GE, Berthiaume R, Pellerin D, Allard G, Dubreuil P and Lapierre H 2007. Effect of protein supply on hepatic synthesis of plasma and constitutive proteins in lactating dairy cows. *Journal of dairy science* 90, 352-359.
- Regnault TR, Oddy HV, Nancarrow C, Sriskandarajah N and Scaramuzzi RJ 2004. Glucose-stimulated insulin response in pregnant sheep following acute suppression of plasma non-esterified fatty acid concentrations. *Reprod Biol Endocrinol* 2, 64.
- Rocco SM and McNamara JR 2013. Regulation of bovine adipose tissue metabolism during lactation. 7. Metabolism and gene expression as a function of genetic merit and dietary energy intake. *Journal of dairy science* 96, 3108-3119.
- Roche JR, Berry DP and Kolver ES 2006. Holstein-Friesian strain and feed effects on milk production, body weight, and body condition score profiles in grazing dairy cows. *Journal of Dairy Science* 89, 3532-3543.
- Roche JR, Friggins NC, Kay JK, Fisher MW, Stafford KJ and Berry DP 2009. Invited review: Body condition score and its association with dairy cow productivity, health, and welfare. *Journal of Dairy Science* 92, 5769-5801.
- Rollin, E.; Berghaus, R.D.; Rapnicki, P.; Godden, S.M.; Overton, M.W., 2010: The effect of injectable butaphosphan and cyanocobalamin on postpartum serum beta-hydroxybutyrate, calcium, and phosphorus concentrations in dairy cattle. *J Dairy Sci***93**, 978-987.
- Ruan H and Lodish HF 2003. Insulin resistance in adipose tissue: direct and indirect effects of tumor necrosis factor- α . *Cytokine & Growth Factor Reviews* 14, 447-455.
- Sander, A.K.; Piechotta, M.; Schlamberger, G.; Bollwein, H.; Kaske, M.; Sipka, A.; Schuberth, H.J., 2011: Ex vivo phagocytic overall performance of neutrophilic granulocytes and the relation to plasma insulin-like growth factor-I concentrations in dairy cows during the transition period. *Journal of Dairy Science***94**, 1762-1771.
- Santos JEP, Bisinotto RS, Ribeiro ES, Lima FS, Greco LF, Staples CR and Thatcher WW 2010. Applying nutrition and physiology to improve reproduction in dairy cattle. *Reproduction in Domestic Ruminants* VII 67, 387-403.
- Scalia D, Lacetera N, Bernabucci U, Demeyere K, Duchateau L and Burvenich C 2006. In vitro effects of nonesterified fatty acids on bovine neutrophils oxidative burst and viability. *Journal of Dairy Science* 89, 147-154.
- Schukken, Y.H.; Bennett, G.J.; Zurakowski, M.J.; Sharkey, H.L.; Rauch, B.J.; Thomas, M.J.; Ceglowski, B.; Saltman, R.L.; Belomestnykh, N.; Zadoks, R.N.,

2011: Randomized clinical trial to evaluate the efficacy of a 5-day ceftiofur hydrochloride intramammary treatment on nonsevere gram-negative clinical mastitis. *J Dairy Sci* **94**, 6203-6215.

SGARBIERI VC 2005. Revisão: Propriedades Estruturais e Físico-Químicas das Proteínas do Leite. *Braz. J. Food Technol* 8, 43-56.

SHARIF, A.; MUHAMMAD, G., 2008: SOMATIC CELL COUNT AS AN INDICATOR OF UDDER HEALTH STATUS UNDER MODERN DAIRY PRODUCTION: A REVIEW. *Pakistan Vet. J.*,**28**.

Sharma, N.; Singh, N.K.; Bhadwal, M.S., 2011: Relationship of Somatic Cell Count and Mastitis: An Overview. *Asian-Aust. J. Anim. Sci.***24**, 429-438.

Shim, E.H.; Shanks, R.D.; Morin, D.E., 2004: Milk Loss and Treatment Costs Associated with Two Treatment Protocols for Clinical Mastitis in Dairy Cows. *Journal of dairy science***87**, 2702-2708.

Shpigel NY, Avidar Y and Bogin E 2003. Value of measurements of the serum activities of creatine phosphokinase, aspartate aminotransferase and lactate dehydrogenase for predicting whether recumbent dairy cows will recover. *Veterinary Record* 152, 773-776.

Sweeney, J.F.; Nguyen, P.K.; Omann, G.M.; Hinshaw, D.B., 1998: Lipopolysaccharide Protects Polymorphonuclear Leukocytes from Apoptosis via Tyrosine Phosphorylation-Dependent Signal Transduction Pathways. *Journal of Surgical Research***74**, 64-70.

Trevisi, E.; Zecconi, A.; Cogrossi, S.; Razzuoli, E.; Grossi, P.; Amadori, M., Strategies for reduced antibiotic usage in dairy cattle farms. *Research in Veterinary Science*.

Tsuruzoe K, Emkey R, Kriauciunas KM, Ueki K and Kahn CR 2001. Insulin receptor substrate 3 (IRS-3) and IRS-4 impair IRS-1- and IRS-2-mediated signaling. *Mol Cell Biol* 21, 26-38.

Wildman EE, Jones GM, Wagner PE, Boman RL, Troutt HF and Lesch TN 1982. A Dairy-Cow Body Condition Scoring System and Its Relationship to Selected Production Characteristics. *Journal of dairy science* 65, 495-501.

Zhang ZG, Wang JG, Gao RF, Zhang WQ, Li XW, Liu GW, Li XB, Wang Z and Zhu XL 2013. High-Energy Diet at Antepartum Decreases Insulin Receptor Gene Expression in Adipose Tissue of Postpartum Dairy Cows. *Bulletin of the Veterinary Institute in Pulawy* 57, 203-207.

Zonca, A.; Gallo, M.; Locatelli, C.; Carli, S.; Moroni, P.; Villa, R.; Cagnardi, P., 2011: Cefquinome sulfate behavior after intramammary administration in healthy and infected cows. *J Dairy Sci* **94**, 3455-3461.